

09:50 – 10:30

EXPOSITOR:

PhD. Carlos Falconi Borja

CONFERENCIA:

Nano Catalítica Microbiana (NBcM®) en el manejo de Fusarium oxysporum f. sp. cubense raza tropical 4 (Foc R4T).

Bionika Laboratorios Cía. Ltda. / BioControlScience BCS





Nano Catalítica Microbiana (NBcM®)

en el manejo de

Fusarium oxysporum f. sp. *cubense* raza tropical 4 (Foc R4T)



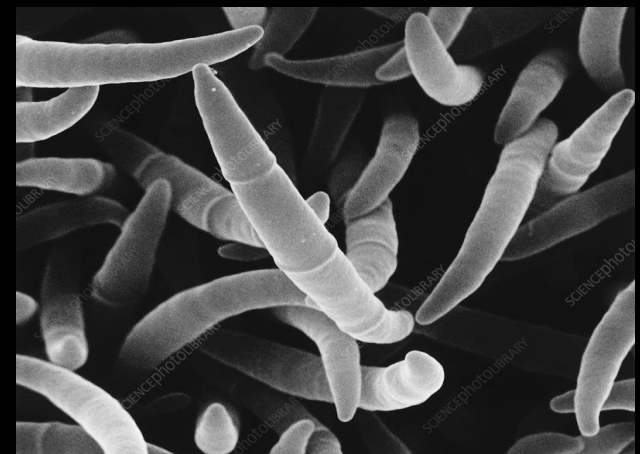
DR. ING. CARLOS FALCONI BORJA PH.D.

BIOCONTROLSCIENCE, ALEMANIA-ECUADOR)

WWW.BDKI.EU;BIOCONTROLSCIENCE@BIOSOFTWARE.DE

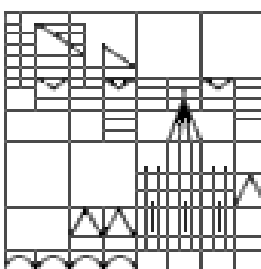
DPTO. AGRICULTURE, TECHNOLOGY AN ENVIRONMENT

BIO SOFTWARE-ALEMANIA





Universität
Konstanz



RESPALDO CIENTIFICO-ACADEMICO
Nano Catalítica Microbiana (NBcM®)



AMERICAN
SOCIETY FOR
MICROBIOLOGY

Applied and Environmental Microbiology

search



[Advanced Search](#)

[Home](#)

[Articles](#)

[For Authors](#)

[About the Journal](#)

[Subscribe](#)

Food Microbiology

Following Coffee Production from Cherries to Cup: Microbiological and Metabolomic Analysis of Wet Processing of *Coffea arabica*

Sophia Jiyuan Zhang, Florac De Bruyn, Vasileios Pothakos, Julio Torres, Carlos Falconi, Cyril Moccand, Stefan Weckx, Luc De Vuyst

Johanna Björkroth, Editor



US006991930B1

(12) **United States Patent**
Janisiewicz

(10) **Patent No.:** US 6,991,930 B1
(45) **Date of Patent:** Jan. 31, 2006

(54) **BIOLOGICAL CONTROL OF POSTHARVEST DECAY OF FRUIT USING STRAINS OF METSCHNIKOWIA SPECIES**

(75) Inventor: Wojciech Janisiewicz, Frederick, MD (US)

(73) Assignee: The United States of America as represented by the Secretary of Agriculture, Washington, DC (US)

(*) Notice: Subject to any disclaimer, the term of this patent is extended or adjusted under 35 U.S.C. 154(b) by 178 days.

Falconi, C.J., et al., "Epiphytic fungi on Apple Leaves and their Value for Control of the Postharvest Pathogens *Botrytis cinerea*, *Monilinia fructigena* and *Penicillium expansum*", *J. Plant Diseases and Protection*, vol. 101, (1), pp. 38-47, 1994.

Antonio, G., et al., "Identification of Killer Factor in the Yeast Genus *Metschnikowia*", *Biotechnology Letters*, vol. 13, (4), pp. 297-298, 1991.

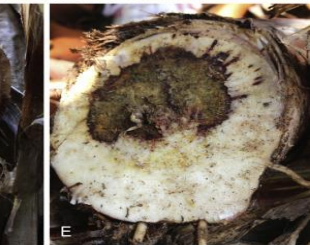
Janisiewicz, W., "Postharvest Biological Control of Blue Mold on Apples", *Postharvest Pathology and Mycotoxins*, vol. 77, (3), pp. 481-485, 1987.

Janisiewicz, W., "Ecological Diversity, Niche Overlap, and Coexistence of Antagonists Used in Developing Mixtures for Biocontrol of Postharvest Diseases of apples", *Biologi-*

Commercial microbial biopesticide products

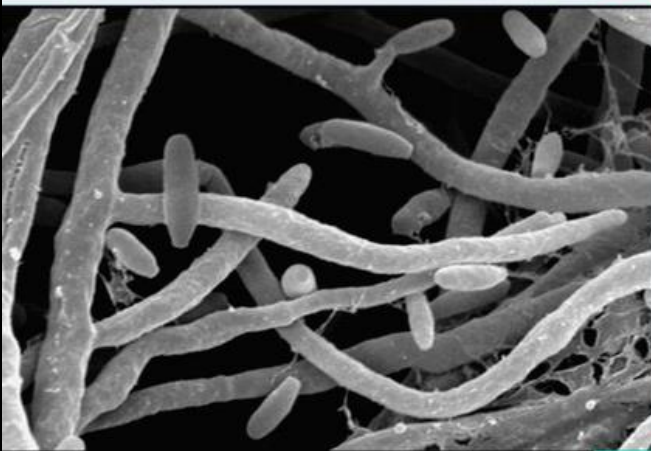


PARTICIPACION DE LA TECNOLOGIA EN 12 PAISES EUROPEOS

**A**

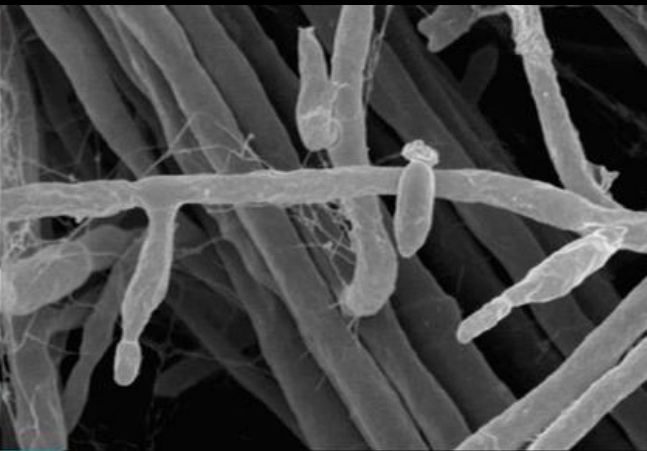
15kV X3,500

5µm 000040

**C**

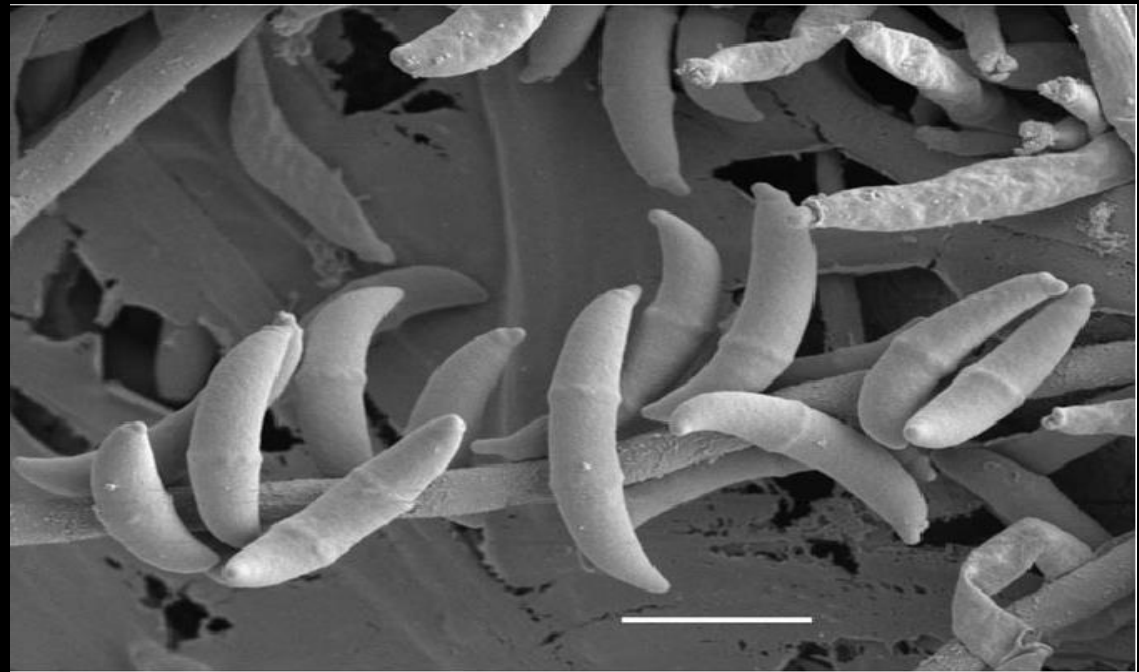
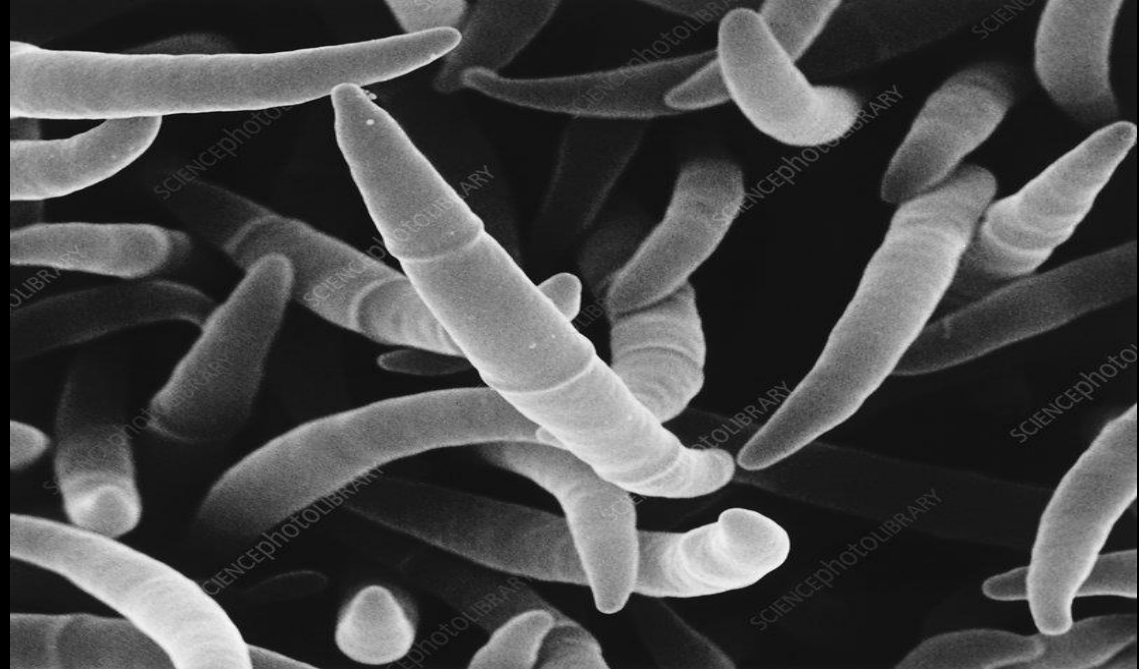
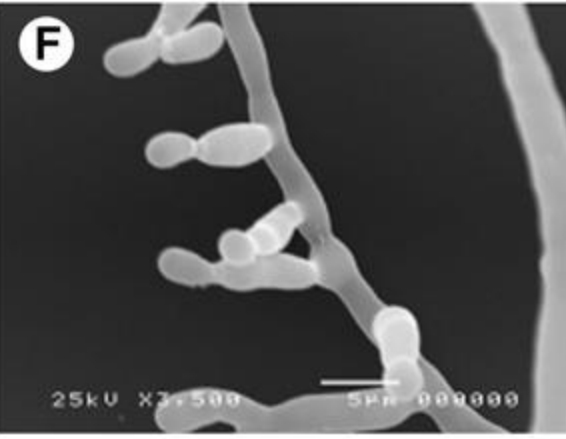
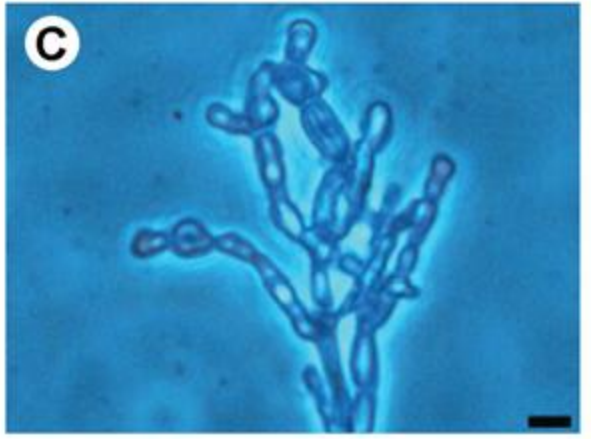
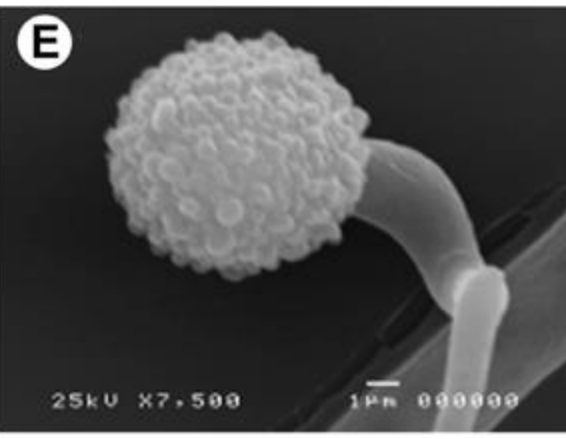
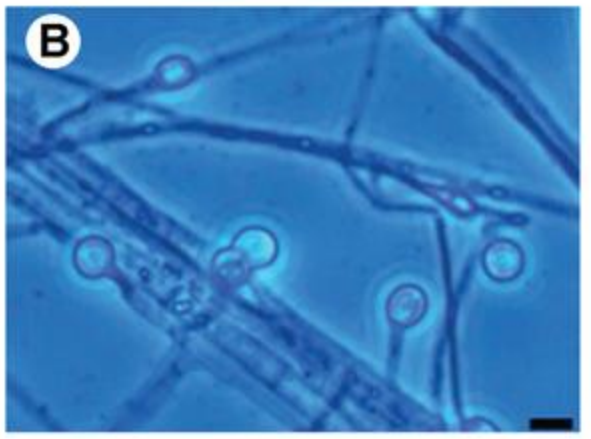
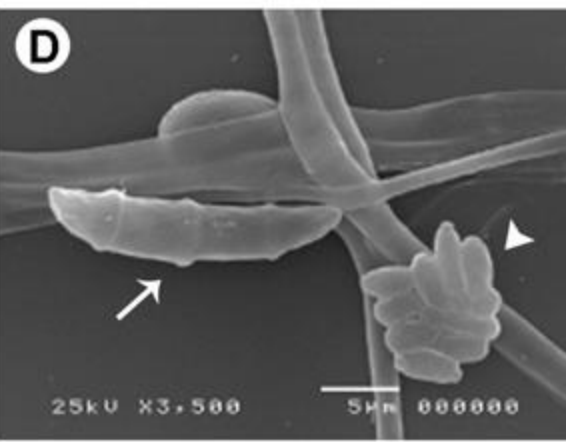
15kV X3,500

5µm 000032

**B**

15kV X3,500

5µm 000040



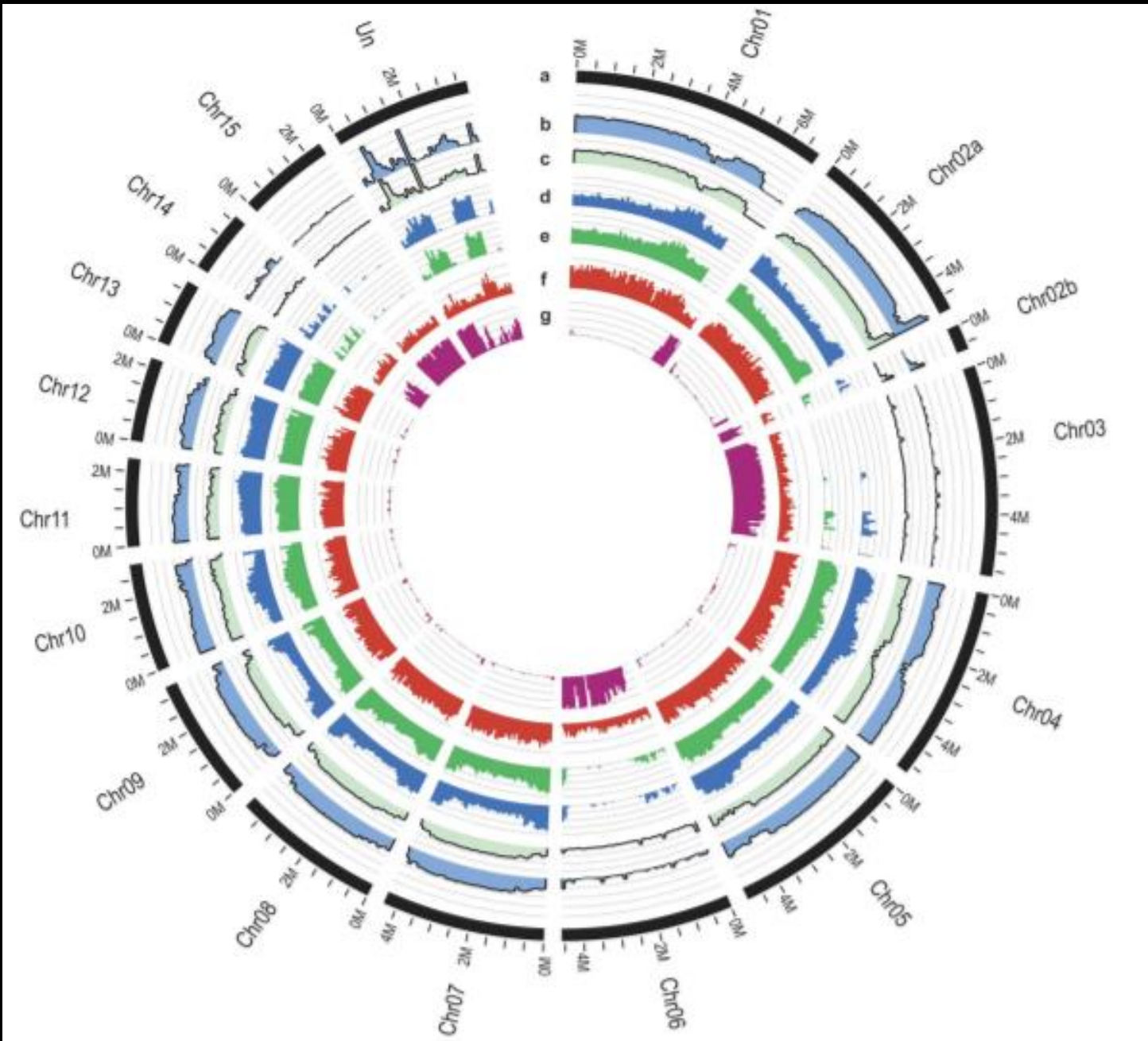
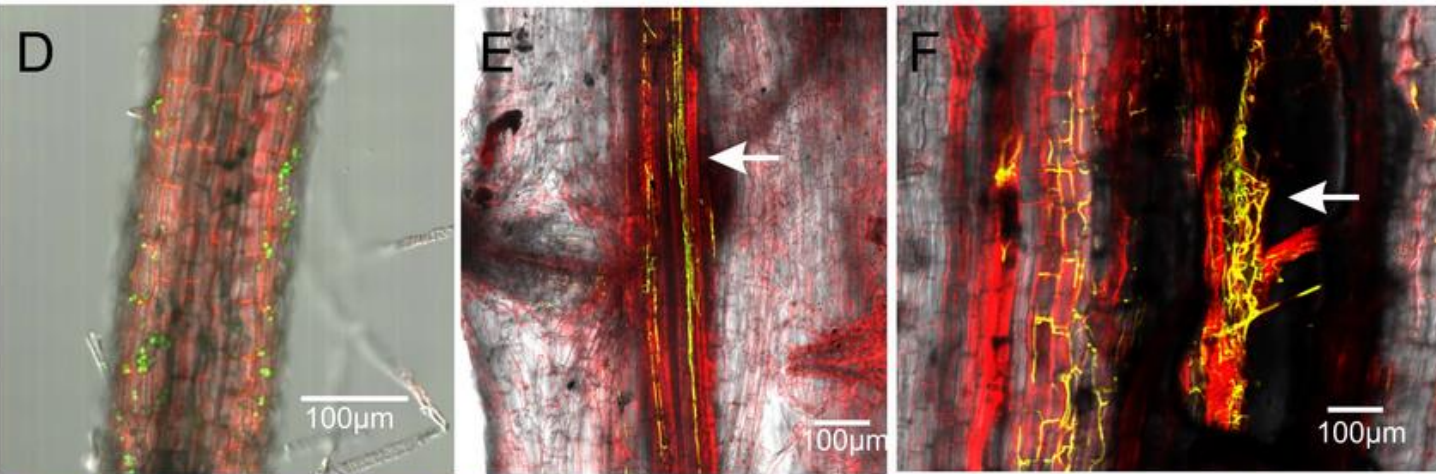
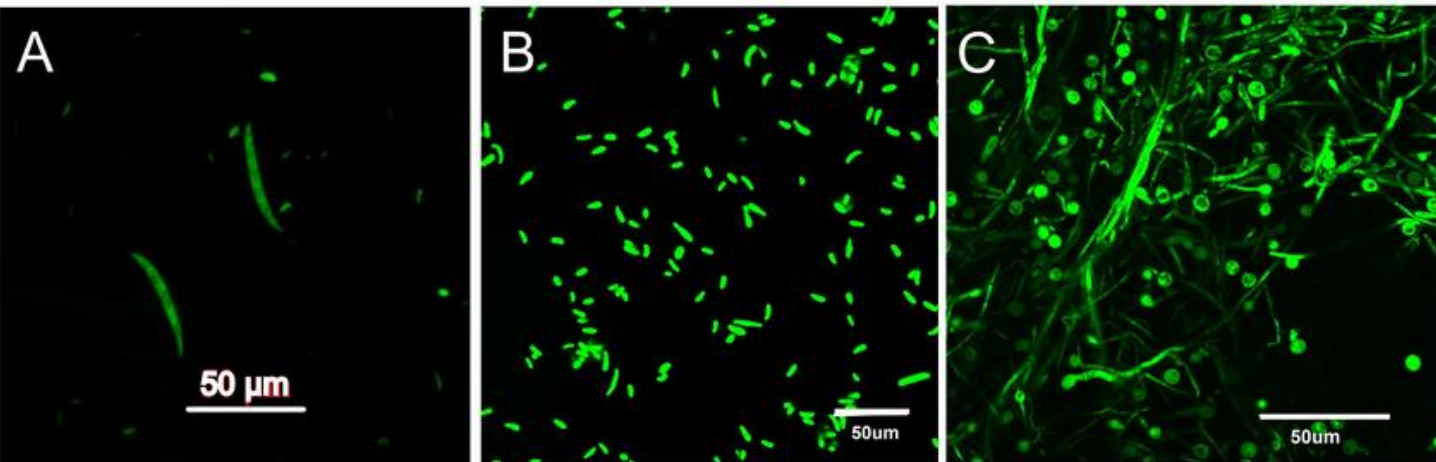


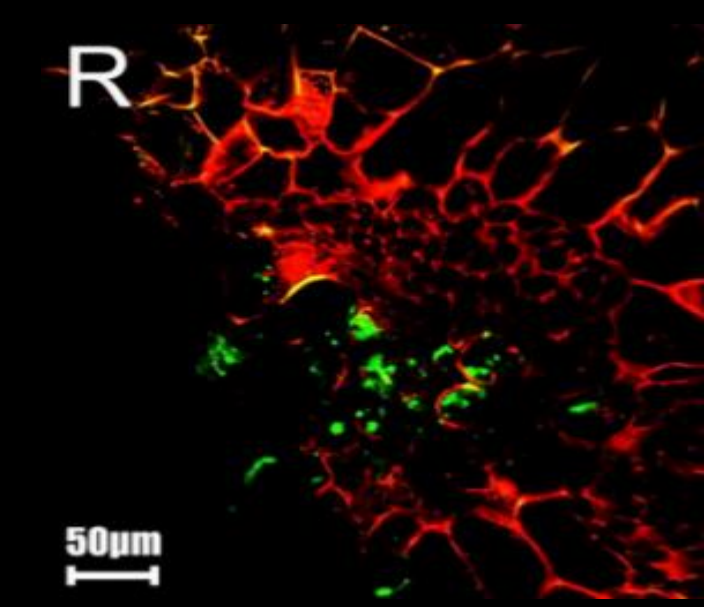
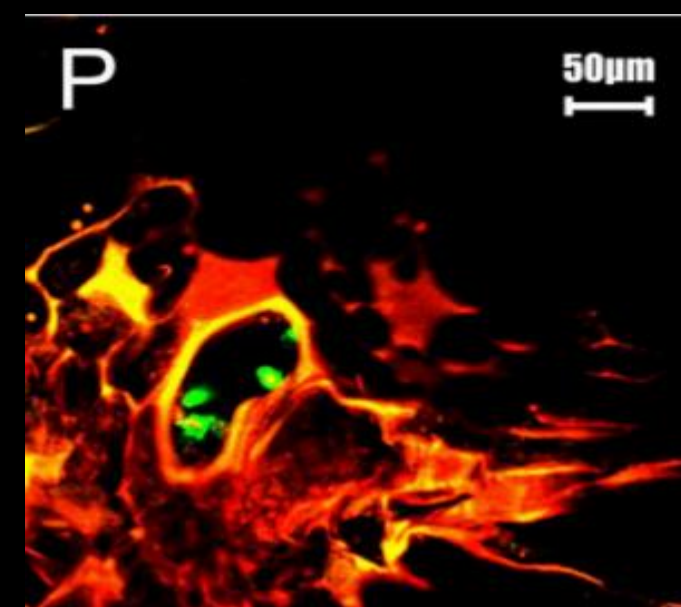
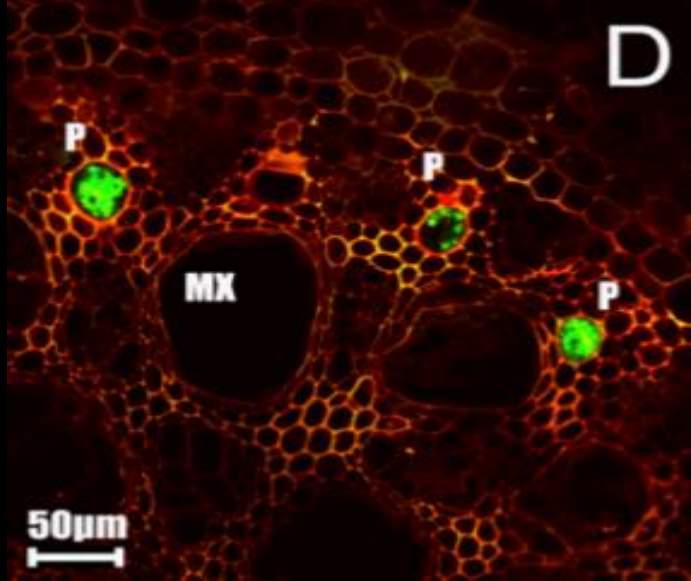
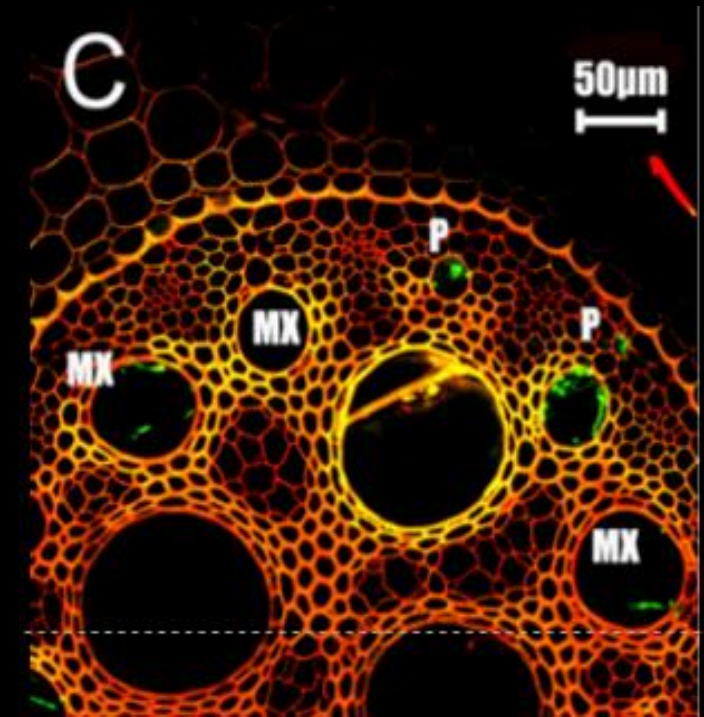
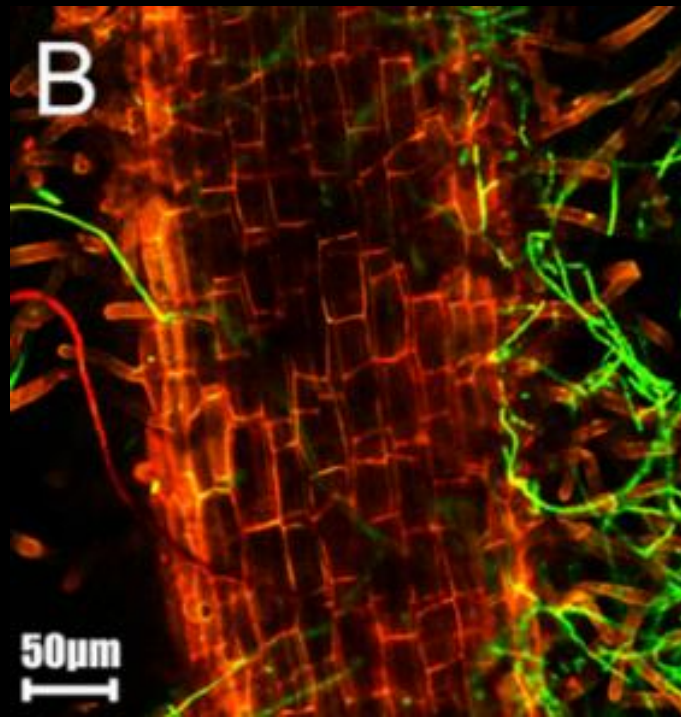
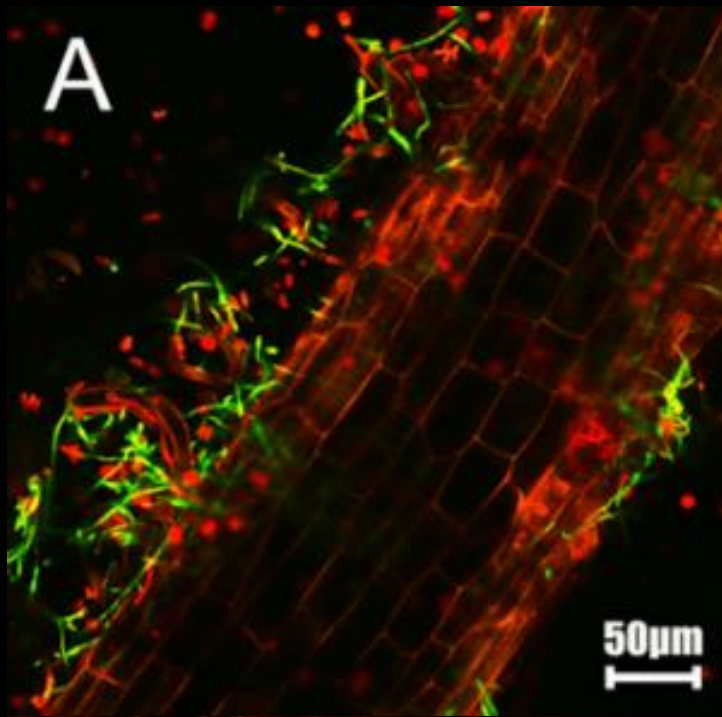
Table 1. Features of the *F. oxysporum* f. sp *cubense* race 1 and race 4 genomes.

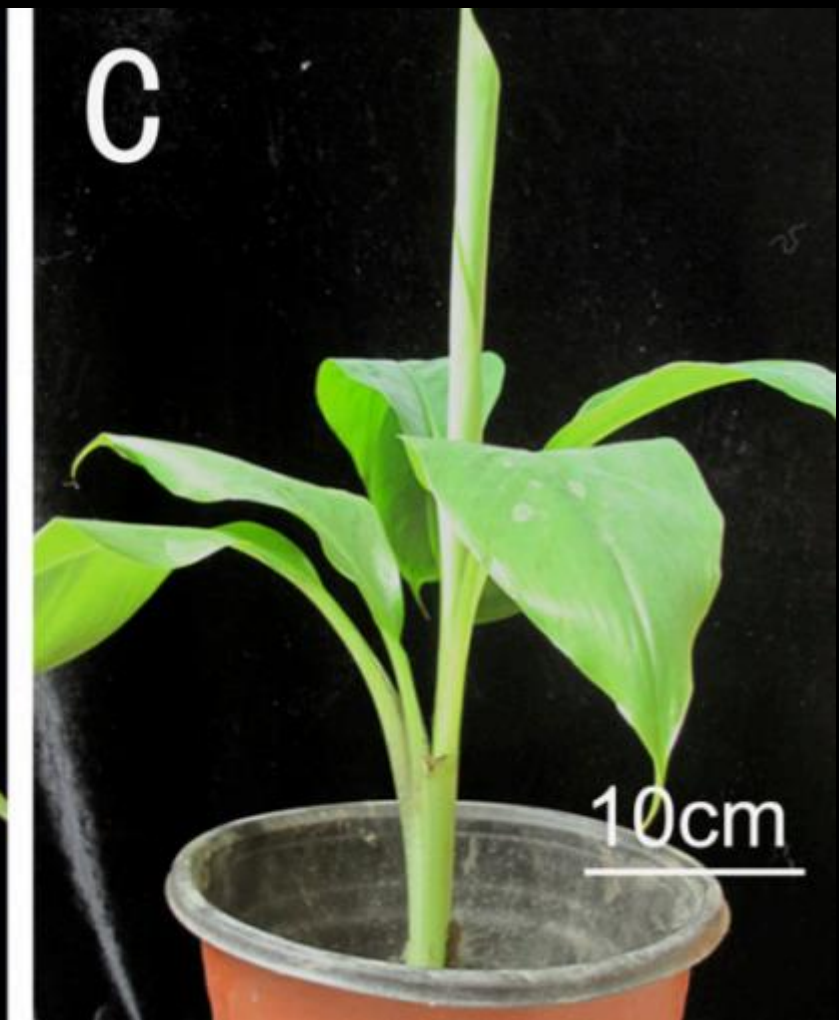
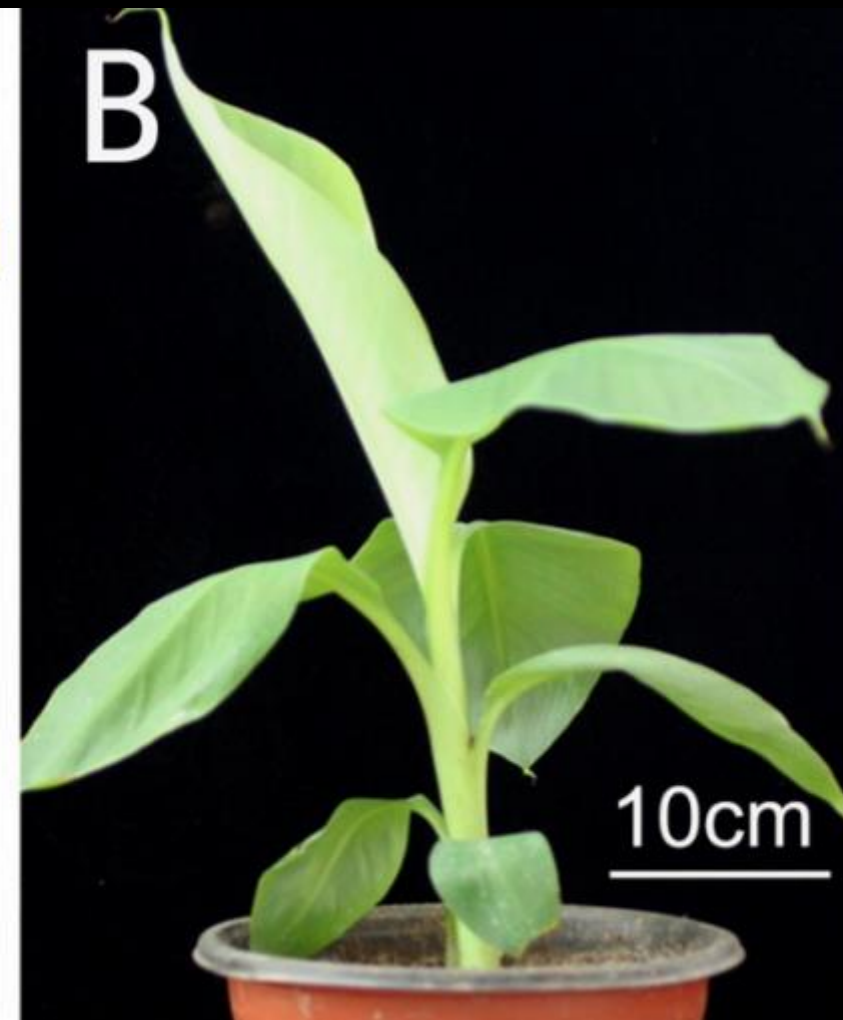
Features	Foc1	Foc4
Genome size (bp)	47,838,384	53,119,146
Coverage (fold)	106×	132×
G+C content (%)	47.98	48.05
Protein coding genes	17,462	18,065
*RPKM>1 (genes)	11,484	12,763
*RPKM>5 (genes)	8,467	9,971
Coding region (bp)	25,643,169	28,419,821
Percent coding (%)	53.6	53.5
Exon number	49,212	50,991
Exon length (bp)	22,414,389	23,357,730
Mean exon length (bp)	455.46	458.08
Exon number/gene	2.82	2.82
InterPro signature	11,205	11,591
GO assignment	8,734	9,016
KEGG alignment	3,614	3,743
Swissport alignment	9,777	10,153
Trembl alignment	15,607	16,170
Total annotations	15,692	16,288

*RPKM: Reads Per Kb per Million reads, which is used to estimate expression levels of genes.

doi:10.1371/journal.pone.0095543.t001







FOCR4

FOCR1

AGUA (8 semanas)

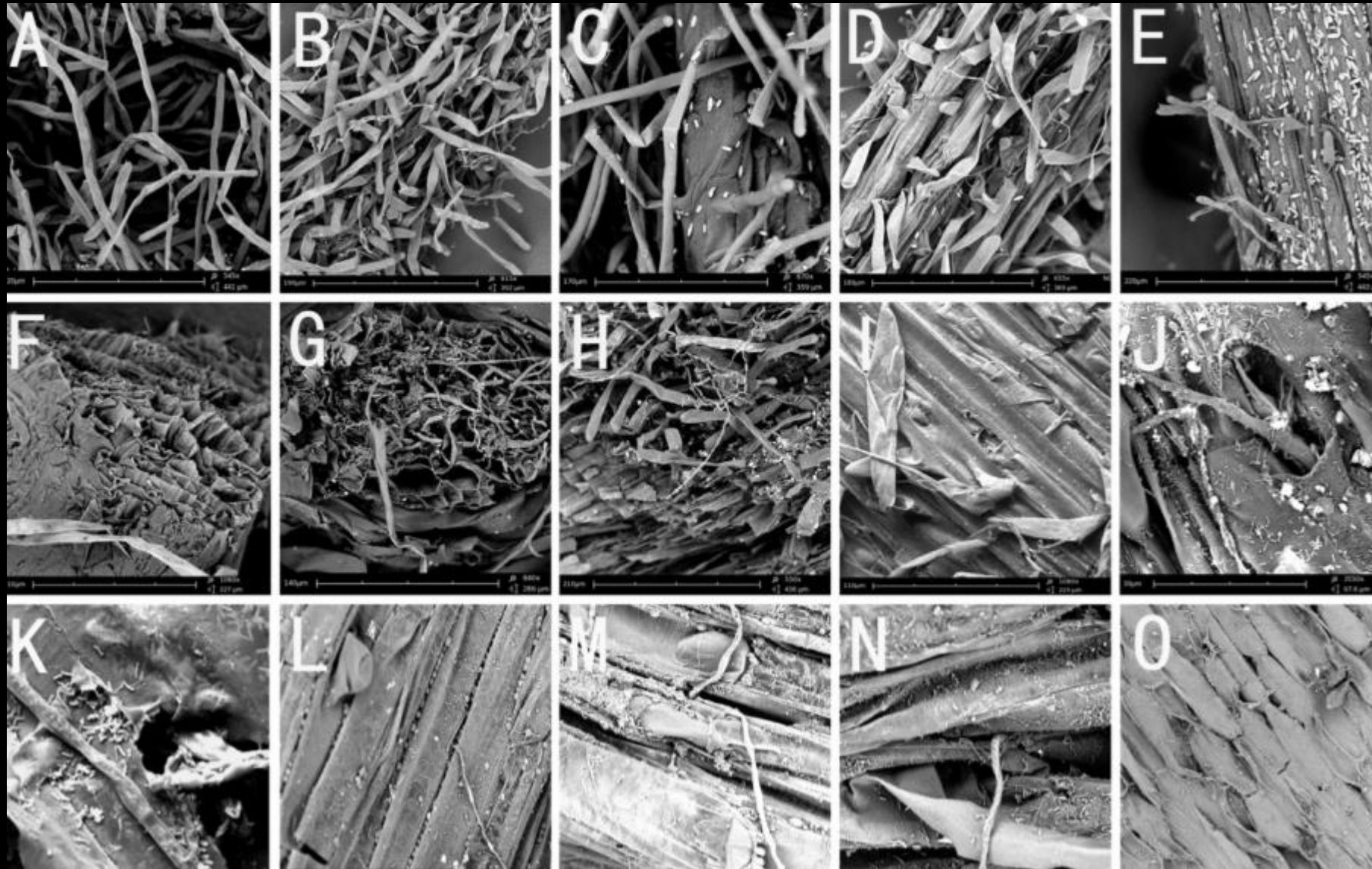


Fig. 4. Comparison of the *Fusarium oxysporum* f. sp. *cubense* race 4 (Foc4) and race 1 (Foc1) infection processes with scanning electron microscopy. **A**, Control without *F. oxysporum* f. sp. *cubense* inoculation; **B**, Foc1 hyphae and **C**, spores attached to the root of banana at 1 day postinoculation (dpi). **D**, Foc4 hyphae and **E**, spores attached to the root of banana at 1 dpi. **F**, Control without *F. oxysporum* f. sp. *cubense* inoculation; **G**, Foc1 and **H**, Foc4 hyphae attached to the cut sites at 2 dpi. **I**, Control without *F. oxysporum* f. sp. *cubense* inoculation; both **J**, Foc1 and **K**, Foc4 hyphae were found in the wounded root epidermal cells at 2 dpi. **L**, **M**, and **N**, Many Foc4 hyphae invaded into banana roots from the intercellular space of the epidermis but **O**, Foc1 hyphae did not.

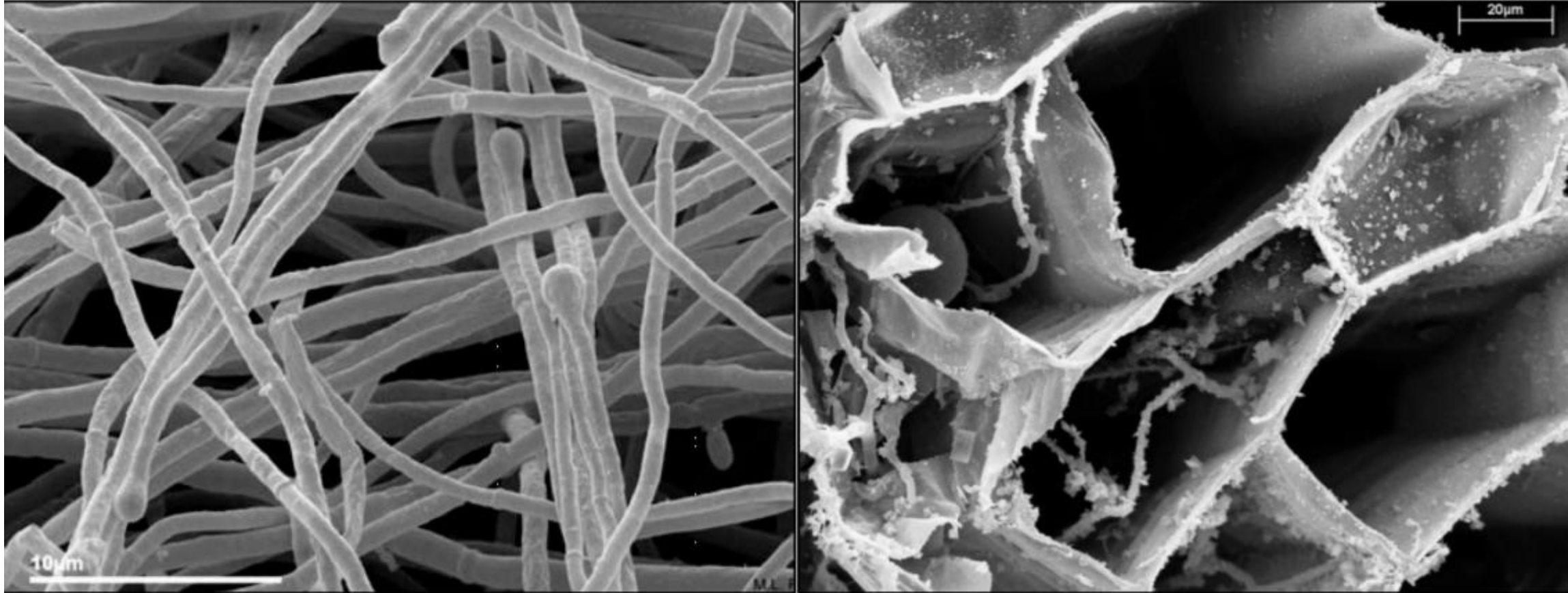


Figure 3. Left: Scanning Electron Microscopy (SEM) photo of the mycelium of *Fusarium oxysporum* f.sp. *cubense*. Right: SEM of the fungus invading the cortex of a banana root. Courtesy of Mônica Lanzoni Rossi, CENA <http://www.musarama.org/>.

COMPONENTES DEL SISTEMA NANO BIOCATALITICO



a
m
b
i
e
n
t
e

Planta

Suelo

Microorganismos



Plantsphere Laboratories

Resultados de Análisis de Laboratorio No. PSL 7859-BACTERIA-BANANO

Fecha toma de muestra: 18.04.2017

Solicitado por:

Localidad: San Luis

Cultivo: Banano

Estadio Fisiológico: Inicial

Variedad: William

Incidencia: no definida

Fecha laboratorio: 20.04.2017

Responsable:

Localización geográfica: Prov. Guayas

Edad del cultivo: Productivo

Ciclo Productivo: Primario

Código: no definidos

Infección: no definida

RESULTADOS DE LABORATORIO

AGENTE CAUSAL RASTREADO y VERIFICADO

Ralstonia solanacearum raza 2. (Smith 1896) Yabuuchi et al. 1996.

EXPRESIÓN DE VIRULENCIA DEL AGENTE CAUSAL RASTREADO y VERIFICADO

Ralstonia solanacearum vir⁺⁺⁺

Ralstonia solanacearum vir⁺

BIOVARES AGENTE CAUSAL RASTREADO y VERIFICADO

Ralstonia solanacearum raza 2.





Plantsphere Laboratories

DETALLE POR MUESTRA DEL ANALISIS PARA *R. solanacearum* raza 2

Muestra	Biovares	Expresión de Virulencia	Evidencia Molecular Tejido					Evidencia en habitat
			Plásmido kb	Auxinas	Giberelinas	Opinas	Acetosyringona	
M-1 Tallo	Positivo	Positivo	NO DEERMINADO	Positivo	Positivo	Positivo	negativo	Positivo
ALTA CARGA DE CONTAMINACION DE <i>Alternaria</i> spp., alta fisiopatía Cálcica Magnésica, dependiente de carga fotónica para su movilización (390 F).								





AGENTE CAUSALES DETECTADOS	DETALLE	VIRULENCIA (V) / IMPACTO EN EL TEJIDO ANALIZADO (ITA)
FITOPATOGENO PRINCIPAL	<i>Fusarium oxysporum R1</i> <i>Fusarium oxysporum R1</i>	(V) vir ⁺⁺⁺ (V) vir ⁺⁺
AGENTE CAUSAL RELACIONADO CON EL PRINCIPAL COMO COMPLEJO	<i>Pythium sp.</i> <i>Thielaviopsis sp.</i>	(V) vir ⁺
FISIOPATIA PATOGENICA	[Ca-Zn-K-(Ca-K-S)-Mg-Zn-Ca] ^{hv1230}	ITA: ALTA
AGENTES IATROGENICOS	<i>Cercospora sp.</i> , <i>Drechslera sp.</i> , <i>Curvularia s.</i>	ITA: ALTA
ALTERNANCIA DE ESTRÉS ABIOTICO	Cristalización de tejido (acumulación de agroquímicos y pérdida de agua celular). Alto contenido de sales exo y endocelular.	ITA: ALTA
ALTERNANCIA DE ESTRÉS ABIOTICO:	Tensión hídrica de tejido.	ITA: No compensada

Toxinas de Infección localizadas en *Fusarium oxysporum* en banano

Toxina	Función
PSL-tox 2923	Lesiones cuticulares
PSL-tox 2980	Lesiones localizadas Desactivación de defensa vegetal
Acido Fusarico	Factor de virulencia



Expresión de toxinas de infección en
Fusarium oxysporum cubense r1

vir⁺⁺⁺

vir⁺

vir⁺⁺

vir⁺⁺⁺⁺

Parámetros Cito Nutricionales

Análisis Edáfico Mineral Integral (AEMI)

IDENTIFICACION	No.LAB.	Sat 1/2 %	PH	C.E. mSiemens/cm	Nitrógeno		Fósforo	Zinc	Cobre	Hierro	Manganeso	Potasio	Calcio	Magnesio	Azufre	Boro	M.Orgánica		
					Nitratos	Amonia	P	P	Zn	Cu	Fe	Mn	K	K	Ca	Mg	B		
					N	N	ppm	ppm	Total Sol.Aqua			ppm	Total Sol.Aqua			M. O.	%		
BANANO	Ban2611SLM1	31,0	5,96	0,90	108	19	103	4,2	10,4	2,2	42	94	305	84	2372	231	3,8	0,3	3,4

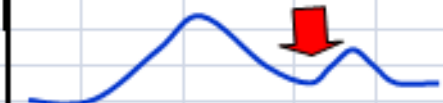
IDENTIFICACION	No.LAB.	RELACIONES		Ca/Mg	Mg/K	Ca/K	(Ca+Mg)/K	Ca/B	Fe/Mn	NO3/NH4-N	Al + H	SODIO	SODIO	Cloruros	Potasio	Calcio	Magnesio	C.I.C.E.
		Ca/Mg	Mg/K	Ca/K	(Ca+Mg)/K	Ca/B	Fe/Mn	NO3/NH4-N	Al + H	SODIO	SODIO	Cloruros	Potasio	Calcio	Magnesio	C.I.C.E.		
BANANO	Ban2611SLM1	6,24	2,35	15,20	17,64	0,45	5,7				34	0,15	21,0	0,78	11,86	1,90	14,7	

pH en agua relación 1 a 2.5
 Fósforo y Potasio, en extracto doble ácido (Mehlich) y en Agua
 Calcio y Magnesio en extracto mehlich
 Nitrógeno de Nitratos solubles en agua. Método de ácido salisílico
 Nitrógeno Amoniacal método de fenol básico
 Microelementos: En extracto mehlich por espectrometría de absorción atómica
 Sat. 1/2 = % de saturación medio: Estimado de la capacidad de retención de humedad

C.Eléc. en extracto de saturación
 Azufre, Boro y Sodio solubles en agua
 Materia Orgánica reacción de dicromato.
 C.I.C.E. = Capacidad de Intercambio Catiónico Efectiva

Capacidad de carga biopolimérica (CCB):	BAJA
Partición BioColoidal (PBC):	BAJA
Biocatalizadores exosféricos (BE):	$\log_{10} 1.2 - 1.5 \text{ CFU ml}^{-1}$
Biocatalizadores rizosféricos (BR):	$\log_{10} 1.1 - 1.4 \text{ CFU ml}^{-1}$
Biocatalizadores endosféricos (BE):	$\log_{10} 0.5 - 1.0 \text{ CFU ml}^{-1}$

LOCALIZACIÓN CCB, PBC, BE, BR, BE en relación con la explotación del cultivo



DR. CARLOS FALCONI BORJA PH.D.

LABORATORIOS

PLANTSPHERELABS

www.agriculture-technology.de

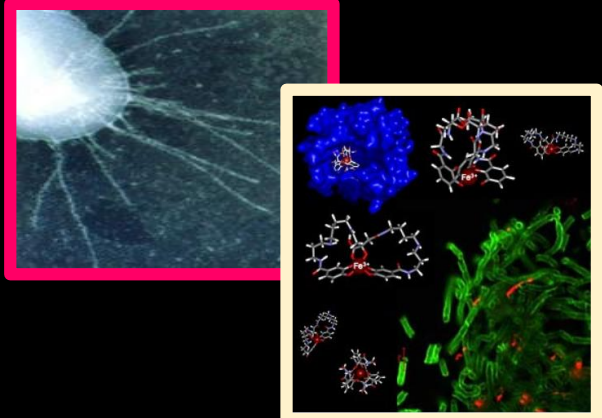


Ácidos orgánicos.
Oxalato
Málico
Fumárico

Fósfordo	
P	P
Total	
103	4.2
Sol. Aqua	

matricial

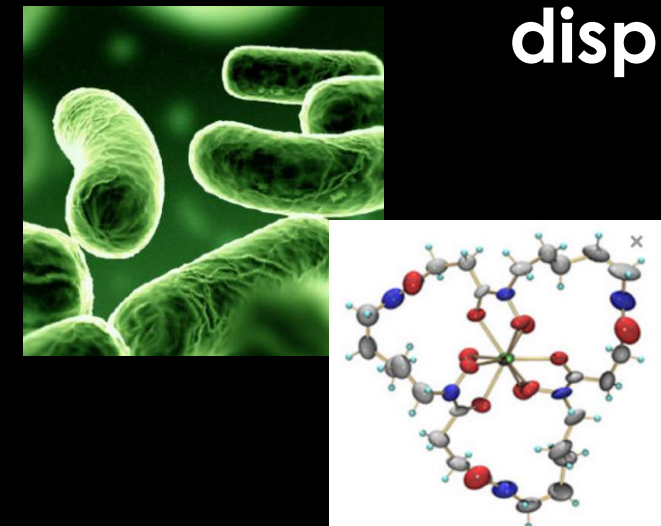
disponible



Potasio	
K	K
Total	
305	84
Sol. Aqua	

matricial

disponible



LA RUTA DE LA NANOCATALITICA MICROBIANA

óptimos fisiológicos (OF) - expresión genética (EG)

Tasa de Eficacia Fotosintética (TEF)



perfil **microbiano** y **metabólico**
específico (PMMe)

Trichoderma sp.
Bacillus sp.

Aureobasidium sp

PSEUDOMONAS SP

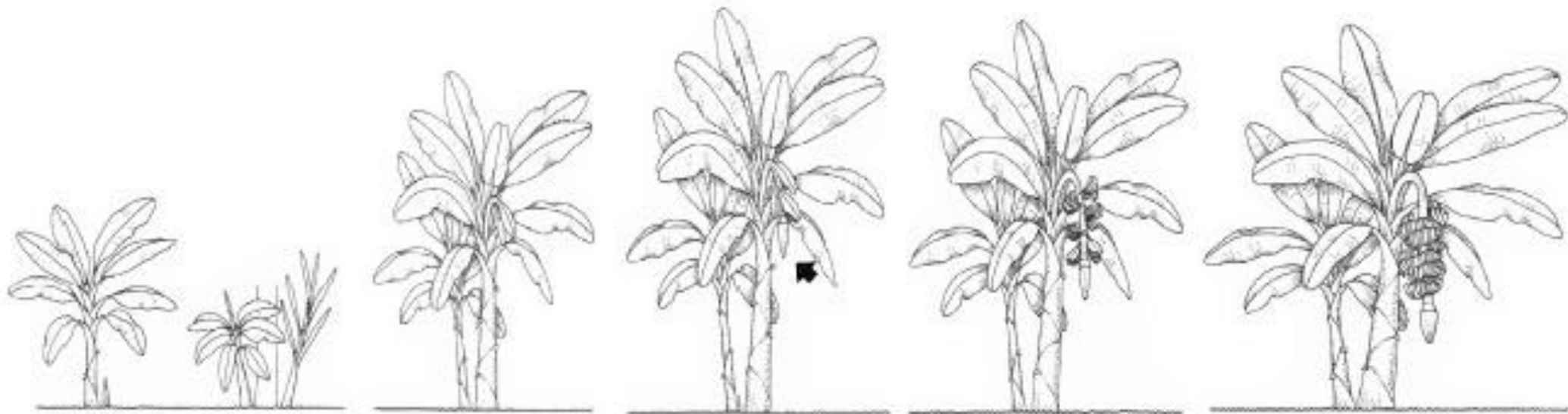
Hormicium sp

Bacillus sp

Epicoccum sp

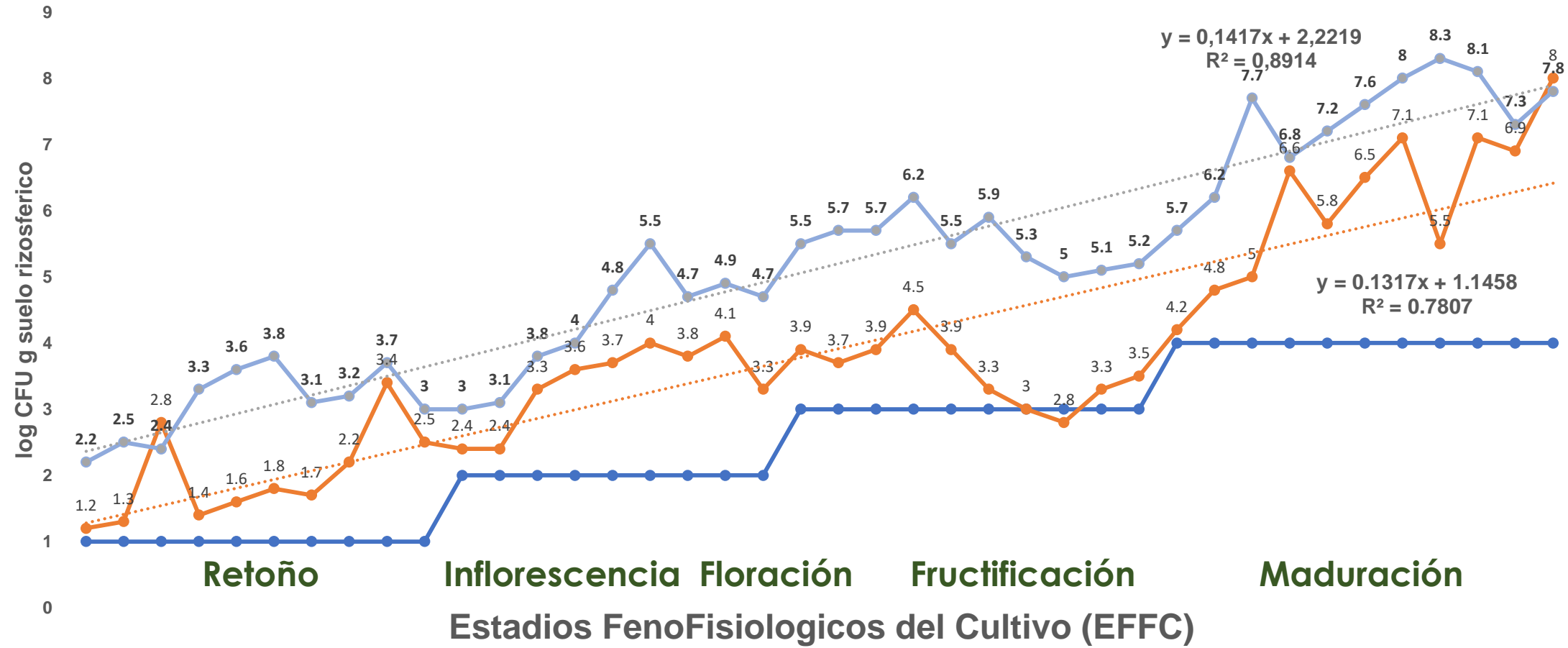
FASES FENOLÓGICAS DEL PLÁTANO

Musa spp.



↑ RETOÑO	↑ INFLORESCENCIA	↑ FLORACIÓN	↑ FRUCTIFICACIÓN	↑ MADURACIÓN
<p>El hijuelo aparece al lado del tallo principal y tiene cerca de 10 cm de longitud.</p>	<p>Momento en que la inflorescencia ha salido de la cobertura de la hoja superior.</p>	<p>Se abren las primeras flores. En algunas variedades las flores están ocultas; en estos casos se omitirá el registro de esta fase.</p>	<p>Cuando aparecen los primeros frutos.</p>	<p>El primer fruto comienza a cambiar de color, en la mayoría de las variedades del verde oscuro al amarillo pálido..</p>

Dinamica de poblaciones microbianas rizosfericas condiciones de en
invierno y **verano** en el cultivo de platano en funcion con la **FenoFisiología**
del cultivo (FFC)

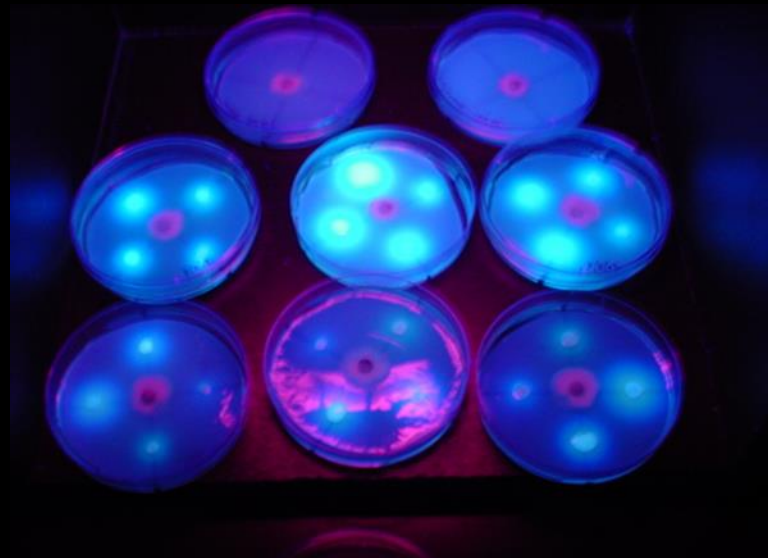




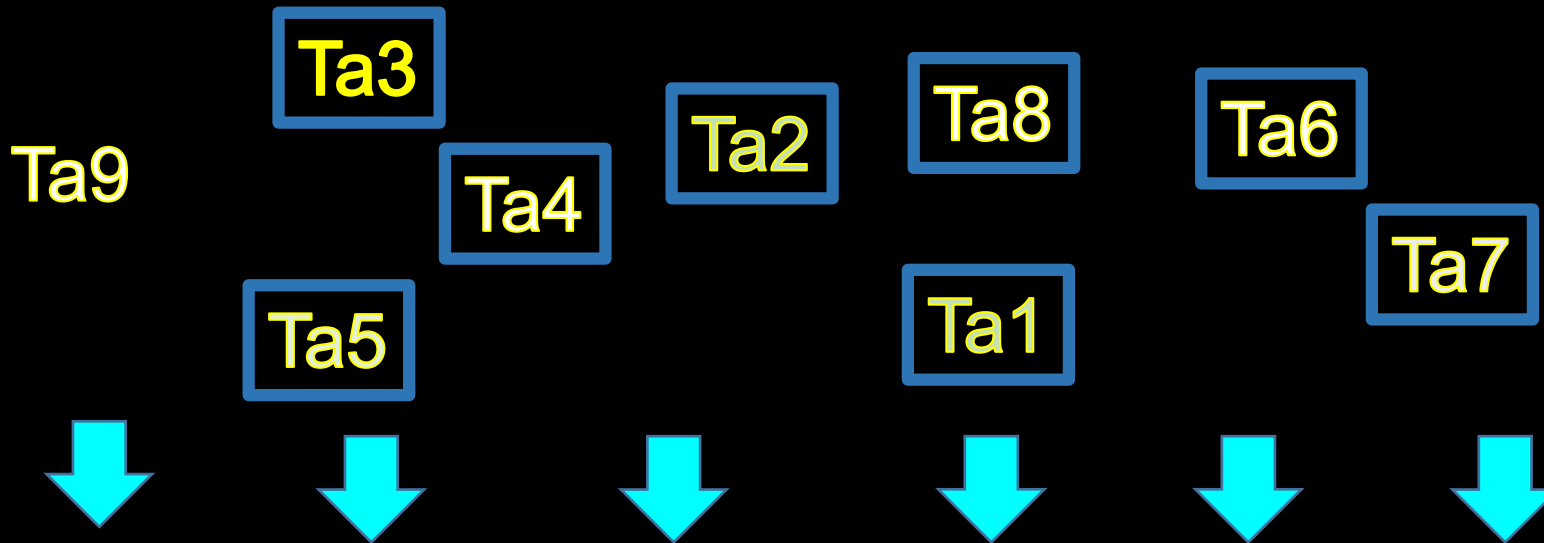
Dinámica de poblaciones microbianas en invierno y verano \log_{10} cfu g⁻¹ (P < 0.005) Wilcoxon test

Recuentos microbianos de Efectores BioCataliticos

MICROORGANISMOS	LOG cfu g-1	SIGNIFICADO AGRONOMICO BIOCATALITICO
<i>Acetobacter sp.</i>	0,54171	Fija N del ambiente en el suelo, asociado a fracciones de materia orgánica, activa la raiz.
<i>Acladum tenellum</i>	0,65874	Desdobra materia orgánica, en sustratos mixtos o complejos, forma matrices de hifas y micelio.
<i>Azospirillum sp.</i>	0,87491	Nativo de suelo asociado al sistema radicular, activo en núcleos de humectación de la raíz, forma biopolímeros de suelo.
<i>Alternaria sp.</i>	0,92498	Patógeno facultativo-oportunista suelo, peligroso en desfases cito químicos Ca-K-S hv 520
<i>B. subtilis</i>	1,98797	Alta emisión de antibióticos y reguladores de poblaciones microbianas de suelo, y regulador de pH de suelo.
<i>Cladosporium cladosporioides</i>	2,69675	Agente buffer de suelo, regula el pH a términos de neutralidad. Sus metabolitos son quelatantes catiónico.
<i>Curvularia sp.</i>	1,53743	Consolida procesos de asimilación de nutrientes minerales, alta expresión de ácidos orgánicos.
<i>Colletotrichum sp.</i>	2,65873	Saprofito, desdoblador de materia orgánica.
<i>Fusarium oxysporum</i>	1,98547	Fitopatógeno principal, alta producción de enzimas que actúan diluyendo paredes celulares. Localizado en raíces vegetales.
<i>Frateruria sp.</i>	2,65472	Solubiliza potasio, expresa ácidos orgánicos, quelatiza elementos minerales de suelo.
<i>Micelia sterilia</i>	1,65745	Saprofito, desdoblador de materia orgánica, aporta con la asimilacion de P al suelo.
<i>Myrothecium sp.</i>	0,96547	Regulador natural de poblaciones de nematodos fitopatógenos de vida libre, deficiente colonizador de suelo sin la presencia de MO.
<i>Pythium debaryanum</i>	0,21547	Fitopatógeno se manifiesta con la presencia de alta cantidad de agua, anegamiento de la zona de raíces. Latente en todo el ciclo.
<i>Pantoea sp.</i>	0,65987	Aporta con la solubilizacion de P y la fijación de N atmosférico, presente en la superficie de las raíces rizoplano.
<i>Paecylomices sp.</i>	1,15454	Catalizador de elementos nutricionales a base de P, además de ser Solubilizador NPK.
<i>Pseudomonas putida</i>	2,65849	Asociado con minerales tipo hierro, consolida condiciones coloidales de suelo, localizado aglomerando partículas de suelo.
<i>Stemphyllium sp.</i>	0,21546	Regulador de pH de suelo, por medio de la expresión de ácidos orgánicos, Dependiente de materia orgánica.
<i>Trichoderma sp. S-1</i>	1,26547	Asociado a colonias de fitopatogenos, alta expresión de antibióticos, Biomineriza materia orgánica especialmente la descompuesta.
<i>T. harzianum S-2</i>	0,82647	Predigestor de N - P orgánicos, altamente variable por las condiciones de pH de suelo.
<i>Trichoderma sp. S-3</i>	1,65712	Desdobra fracciones complejas de materia orgánica, ensambla complejos orgánicos e simples, quelatiza minerales.
<i>Torula herbarum</i>	2,95744	Residente de la rizósfera, no está definida exactamente su función pero se le encuentra formando mucilago.



La finalidad de la tecnología es
buscar el significado
de su expresión metabólica



FILTRO BIOCATALITICO TRICHODERMA FCT

Ta8

Ta7

FCT-fitohormonas

Ta1

Ta10

FCT- NPK

Ta2

Ta5

FCT- antibiosis

Ta3

Ta4

Ta9

FCT- satélites

BANCO DE GERMOPLASMA TRICHODERMA

TA1

Solubilizador NPK

TA2

Trichoderminas, harzianinas, PSL9287, PSL272

TA3

Harzianinas, PSL9209, PSL2876

TA4

FITH 383, FIT298.

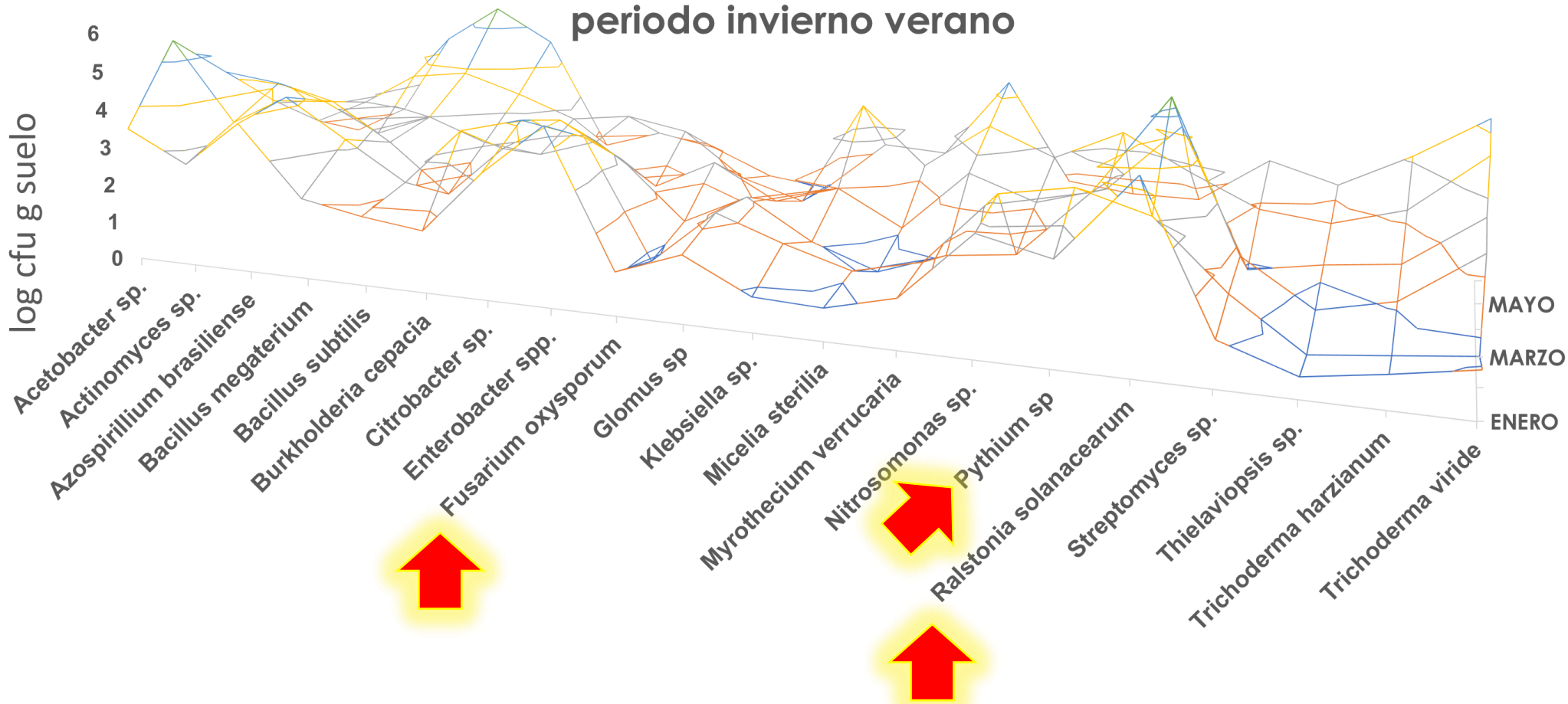
TA5

Celulasas, lignasas, MO, HUMATES

TA6-IR

BIOREMEDIADORES, PSL-IR-492, PSL-IR-282

Dinamica de poblaciones microbianas rizosfericas del cultivo de platano periodo invierno verano



INDEXACION DE LA SUPRESIVIDAD DEL COMPLEJO FITOPATOGENICO

4,23

<i>Acetobacter sp.</i>	3,5c
<i>Actinomyces sp.</i>	2,7c
<i>Azospirillum brasiliense</i>	3,9b
<i>Bacillus megaterium</i>	2,1d
<i>Bacillus subtilis</i>	1,8d
<i>Burkholderia cepacia</i>	1,6c
<i>Citrobacter sp.</i>	3,2b
<i>Enterobacter spp.</i>	4,5a
<i>Fusarium oxysporum</i>	1,1c
<i>Glomus sp</i>	1,7b
<i>Klebsiella sp.</i>	0,87e
<i>Micelia sterilia</i>	0,8c
<i>Myrothecium verrucaria</i>	1,23c
<i>Nitrosomonas sp.</i>	2,9b
<i>Pythium sp</i>	2,5c
<i>Ralstonia solanacearum</i>	4,5b
<i>Serratia sp.</i>	1,1c
<i>Thielaviopsis sp.</i>	0,5c
<i>Trichoderma harzianum</i>	0,78d
<i>Trichoderma viride</i>	1,1c

Microorganismos RIZOSFERICOS	Planta buena log cfu g⁻¹	Planta mala Log cfu g⁻¹	FUNCION DE BIOCATALIZACION
<i>Acetobacter</i> sp.	2.8274	1.01498	Acetan, expresión biopolimérica
<i>Actinomyces</i> sp.	1.2285	0.87625	Antagonista de hongos y bacterias
<i>Alternaria alternata</i>	0.7728	1.25882	Saprofita desdoblador de MO
<i>Arthrinium</i> sp.	1.27815	0.82665	Desdoblador de MO
<i>Azospirillum</i> sp.	1.82765	0.27752	Integrador y asimilador de N atmosférico, importante en vegetativa
<i>Azotobacter</i> sp.	1.22487	1.28295	Formador de alginados N
<i>Clostridium</i> sp.	0.72124	1.27925	Asimilación de N atmosférico
<i>Erwinia</i> sp.	1.2874	1.48974	Saprofita, formación de biocoloides de suelo
<i>Fusarium oxysporum</i>	1.29482	2.27736	Fitopatógeno saprofita secano vir ++
<i>Myrothecium verrucaria</i>	1.82951	1.14592	Regulador de poblaciones de nematodos de suelo.
<i>Nitrosomonas</i> sp.	0.52942	1.89275	Síntesis de N atmosférico
<i>Pseudomonas fluorescens</i>	2.82755	0.72652	Formación de quelatos de iones Fe de suelo
<i>Pythium</i> sp.	1.98272	0.21266	Fitopatógeno secundario de condiciones de humedad edáficos
<i>Scopulariopsis</i> sp.	0.72870	N.D.C.	Regulador de poblaciones de nematodos de vida libre
<i>Streptomyces</i> sp.	1.72359	2.58371	Antagonista de fitopatógenos fungales de suelo
<i>Ralstonia solanacearum</i>	2.85621	3.15424	Fitopatógeno
<i>Trichoderma koningii</i>	1.89274	1.12996	BIOINDICADOR, estimulante de biomasa radicular .
<i>Trichoderma lignorum</i>	1.52854	0.82165	BIOINDICADOR Solubilizador de NPK
<i>Trichoderma</i> sp.	1.24361	N.D.C.	BIOINDICADOR, matriz de mapa trofobiotico
<i>Citrobacter</i> sp.	1.27646	N.D.C.	Estabilizador de pH edáfico
<i>Serratia ficaria</i>	2.89156	1.24939	Antagonista de fitopatógenos hongo de suelos
<i>Bacillus subtilis</i>	1.80702	1.17259	Solubilizador de N-P
<i>Streptomyces</i> sp.	1.67152	1.28641	Formador de enlaces metabólicos
<i>Myrothecium roridum</i>	2.82765	N.D.C.	Solubilización de P
<i>Ustilago</i> sp.	0.72647	N.D.C.	Micorriza basidia fija P

Inv i e r n o



v e r a n o



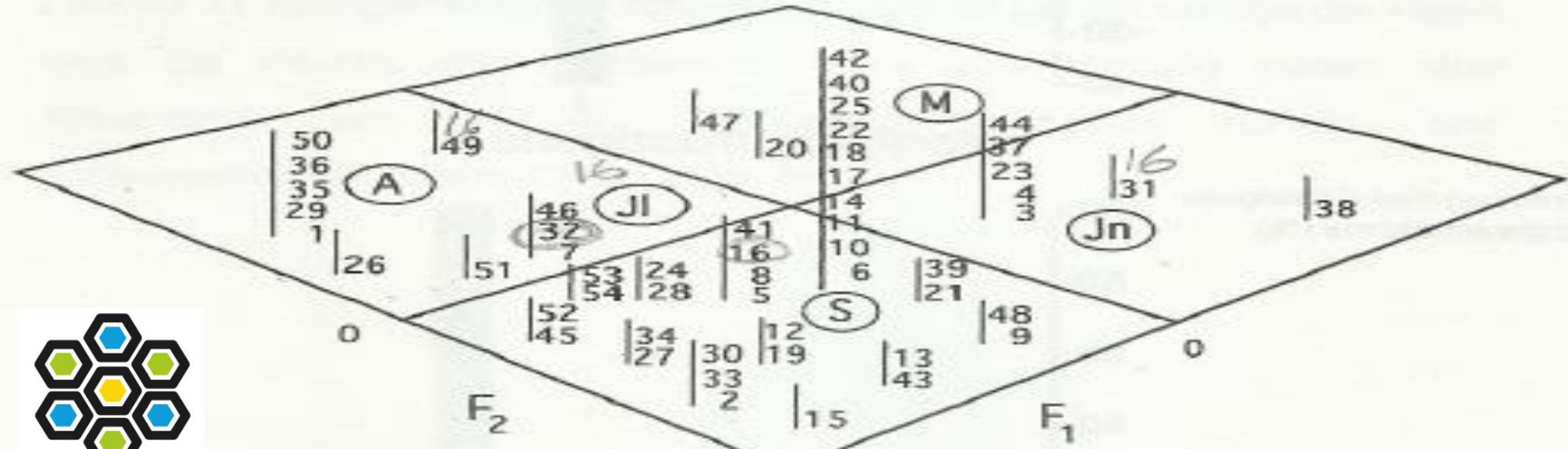
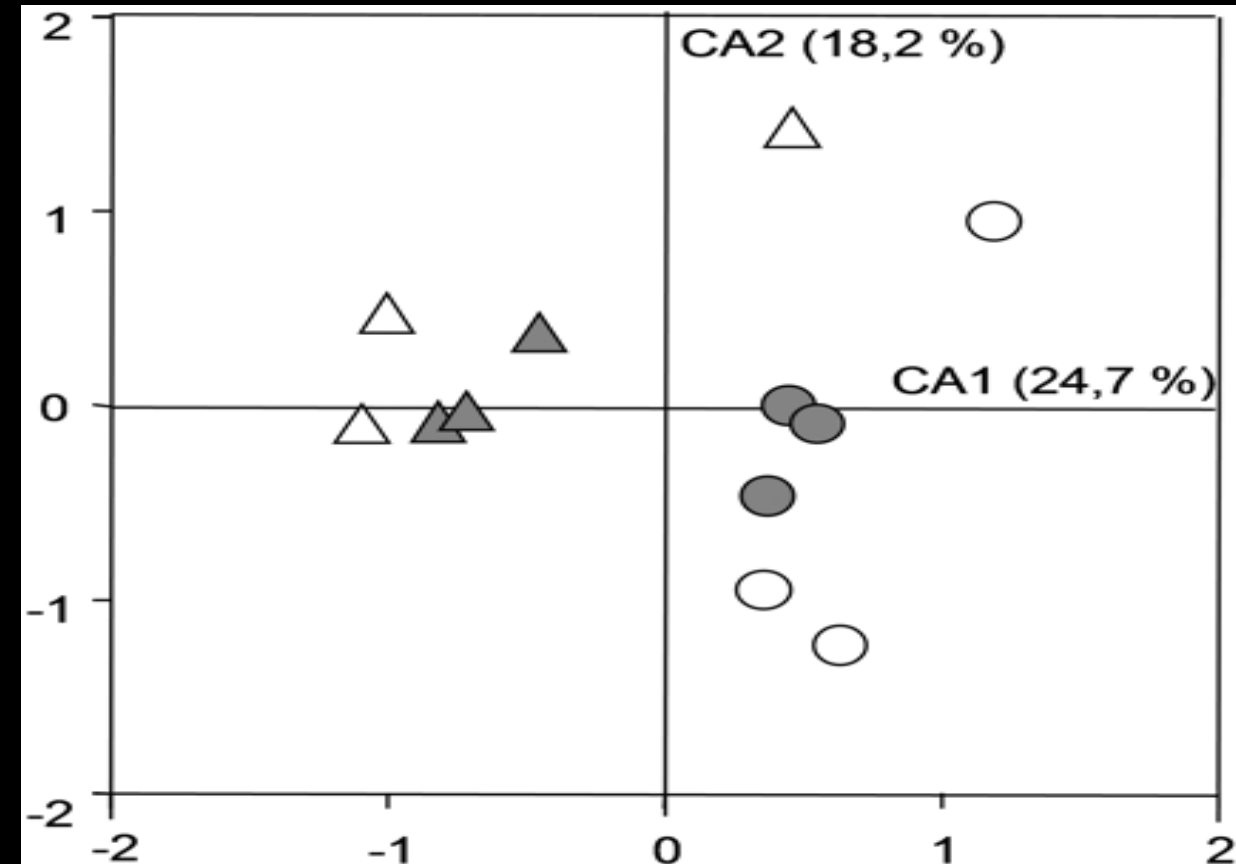
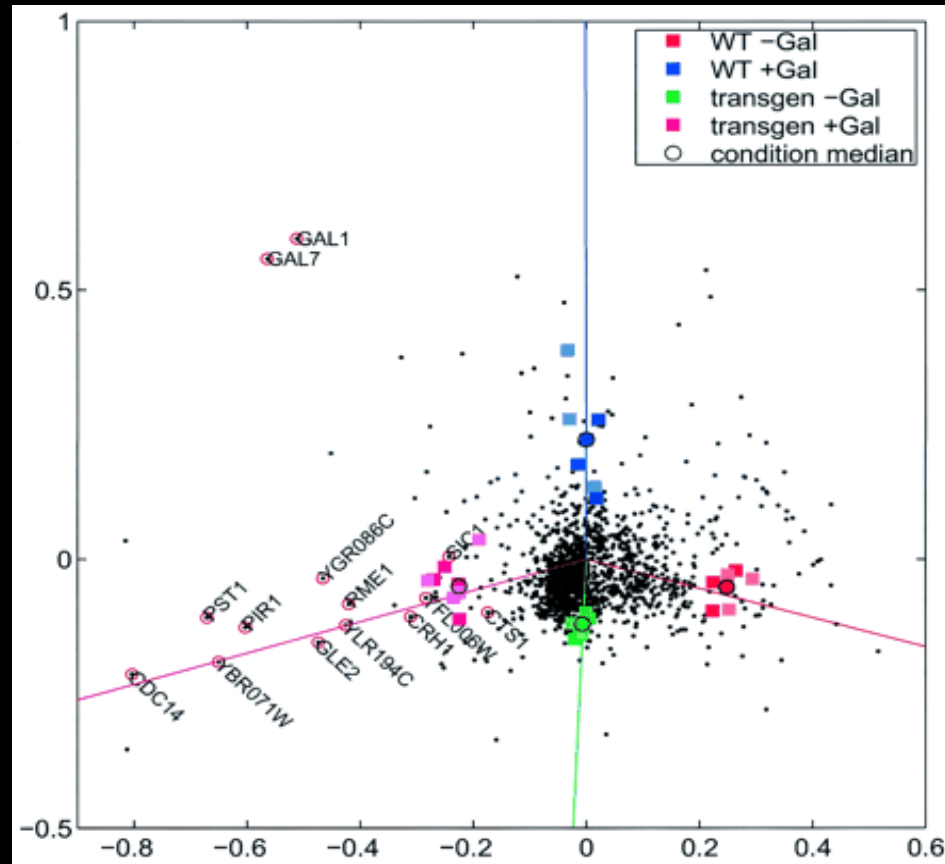


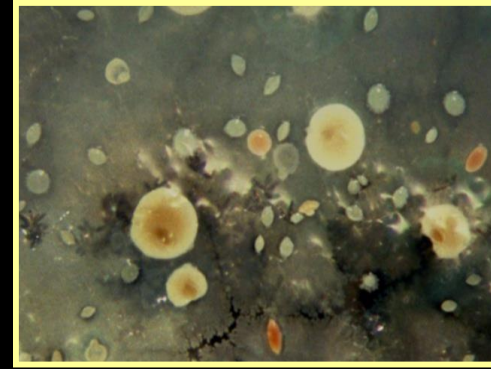
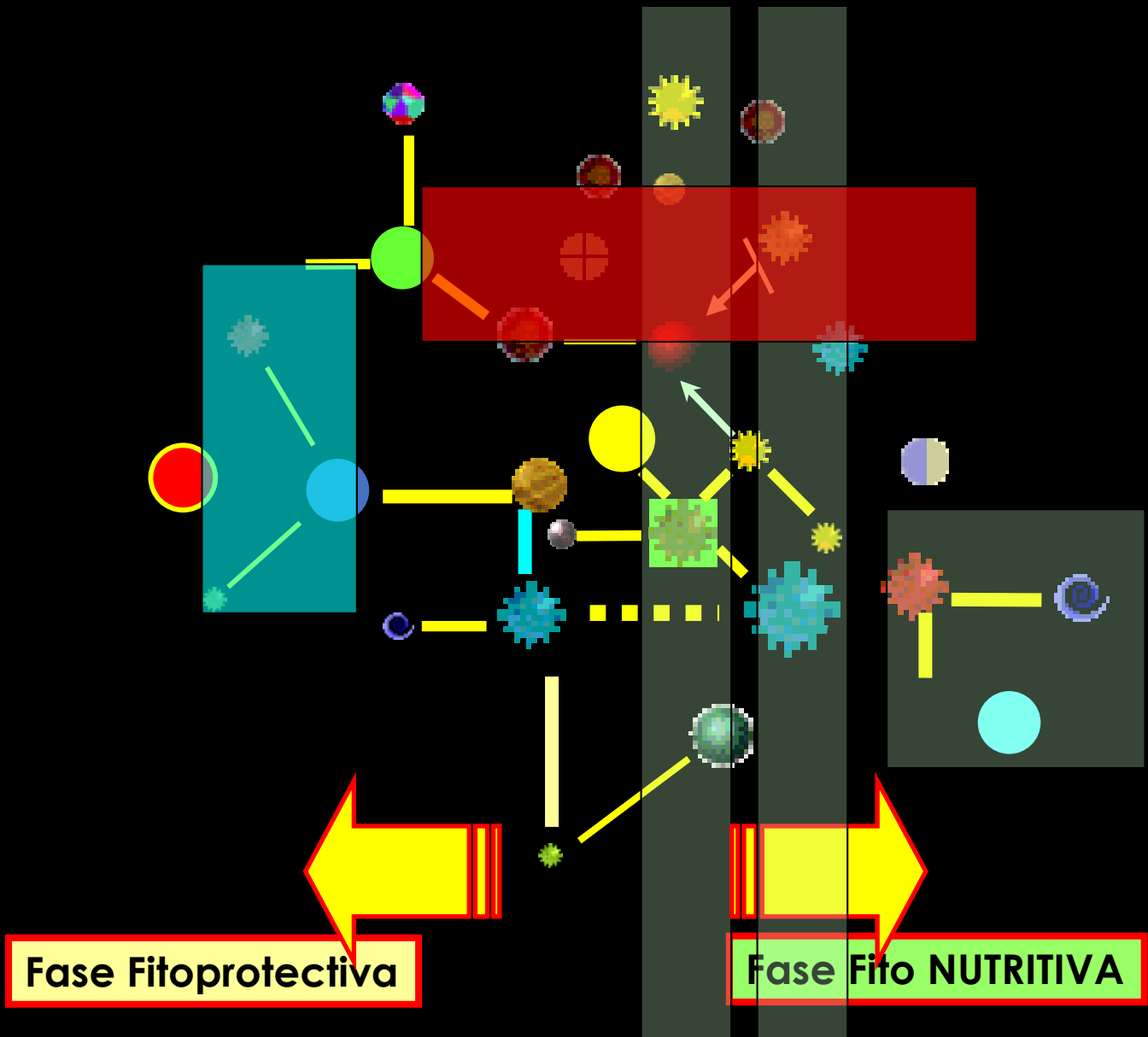
Abb. 7. Carposphäre Mikroorganismen, die in der Saison 1989-1990 beobachtet wurden. Jede Zahl entspricht den in Tabelle 5 angeführten Mikroorganismen. Die Varianzanalyse der Populationen bei F_1 und F_2 beträgt circa 50%. Die Beschriftungen in den Kreisen gibt den Termin der Probenahme an: Mai (M), Juni (JN), Juli (JI), August (A) und September (S).

Biotecnologia Catalitica Vegetal METAGENOMICA EN BANANO

Análisis de correspondencia MultiComponentes en el tiempo y espacio (MC-TE)



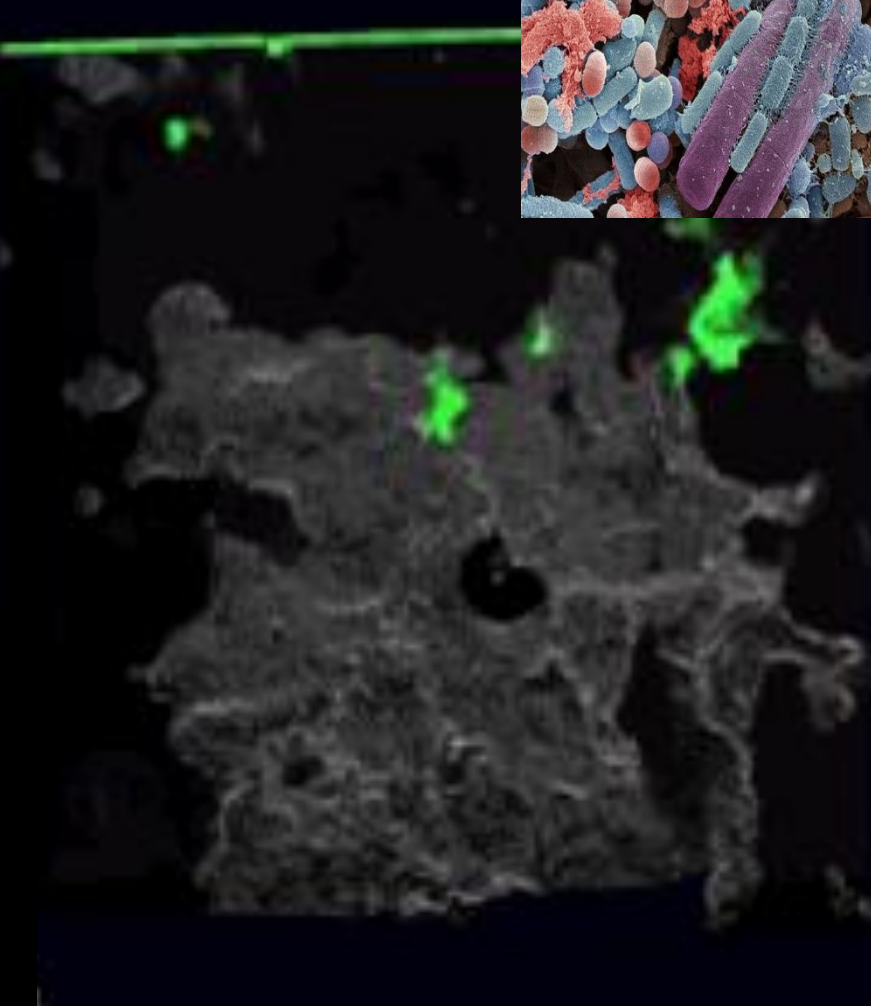
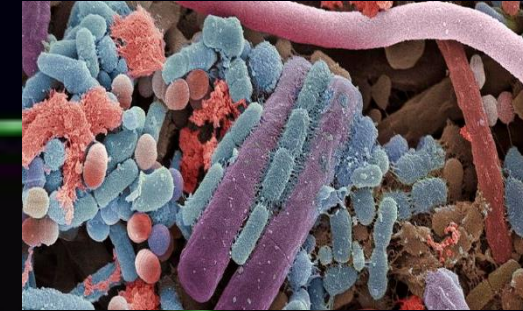
Cultivo Banano



Expresión y lenguaje Fisiológico, Bioquímico, Molecular Citonutricional

Aminoácido	Acido orgánico	Azucares	Vitaminas	Nucleosidos	Enzimas	Iones
A-alanina	Cítrico	Glucosa	Tiamina	Adenina	Fosfatasas	OH^-
B-alanina	Oxalico	Fructosa	Niacina	Guanina	Invertasas	H^+
Aspargina	Malico	Galactosa	Panto tenato	Cistidina	Amilasas	CO_2
Aspartato	Fumarico	Maltosa	Rivoflavina	Uridina	Proteasas	H_2
Cisteina	Acético	oligosacarid				HCO_3
Fenilalanina						
Prolina						
Leucina						

BIOFISICA DE MICROCOOSMOS EDAATICOS



Fungicidas aminas
Morfolinas y espiro-ketalaminas

Inductores de Resistencia

Fungicidas DMI
Triazoles

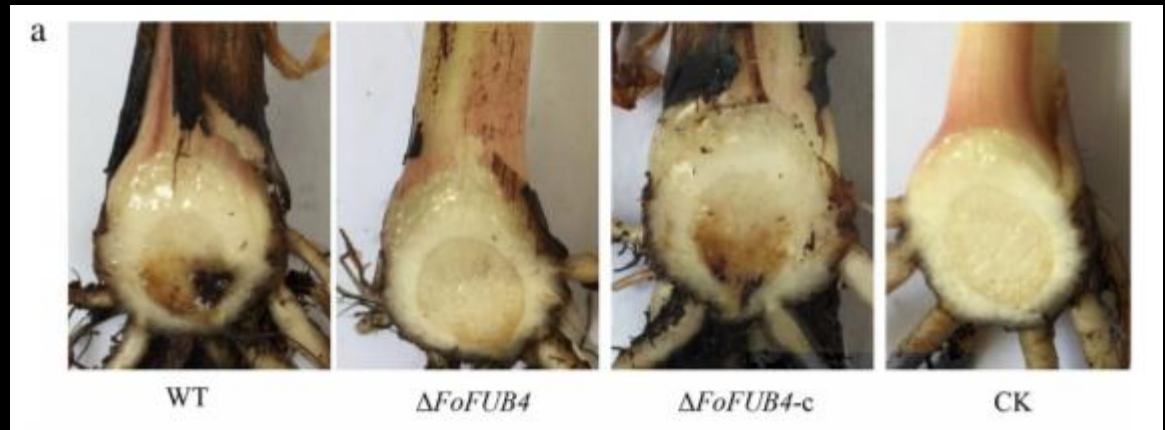
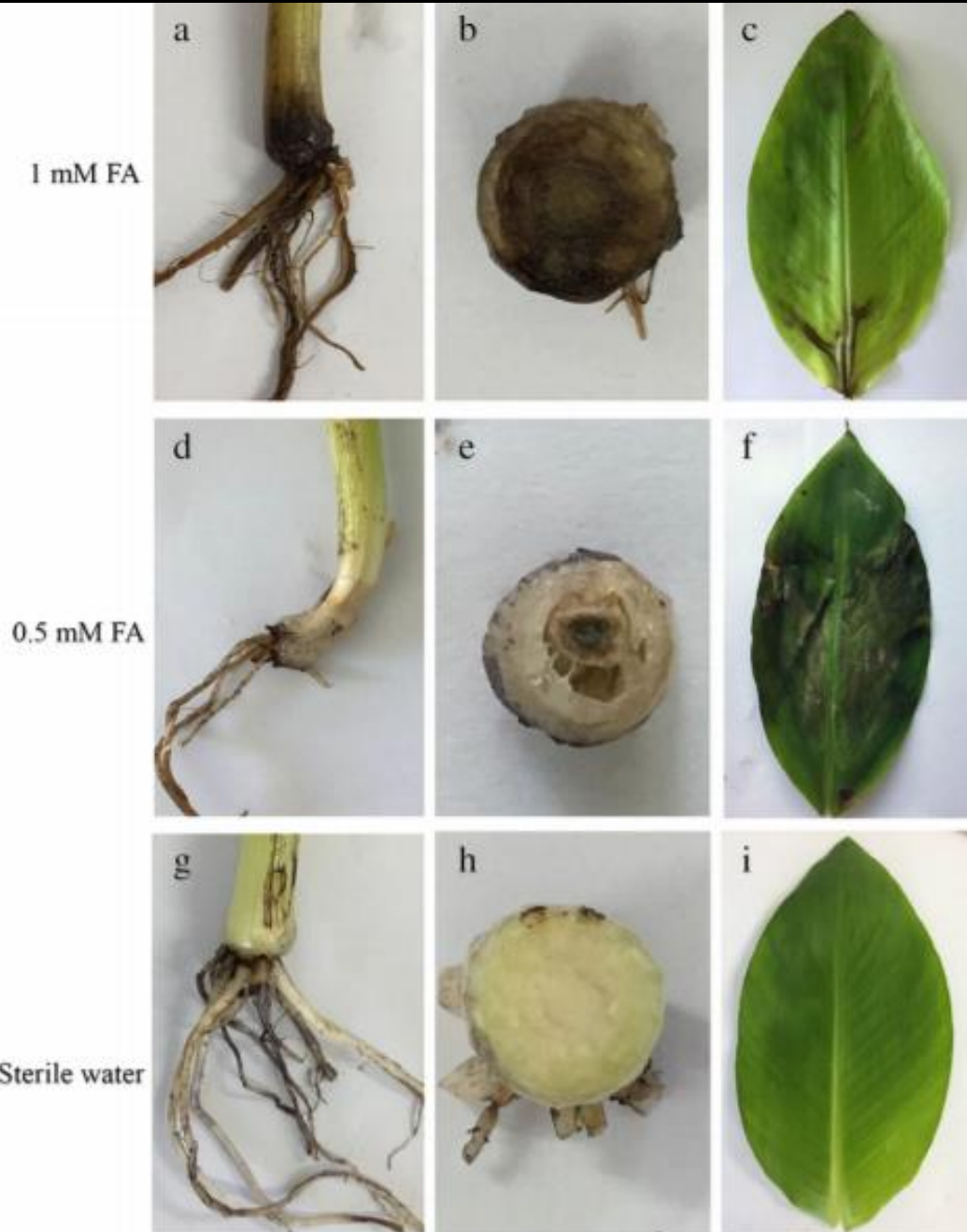
Desactivadores de Virulencia

Fungicidas
Anilino pyrimidinas

BIOFORTIFICACION

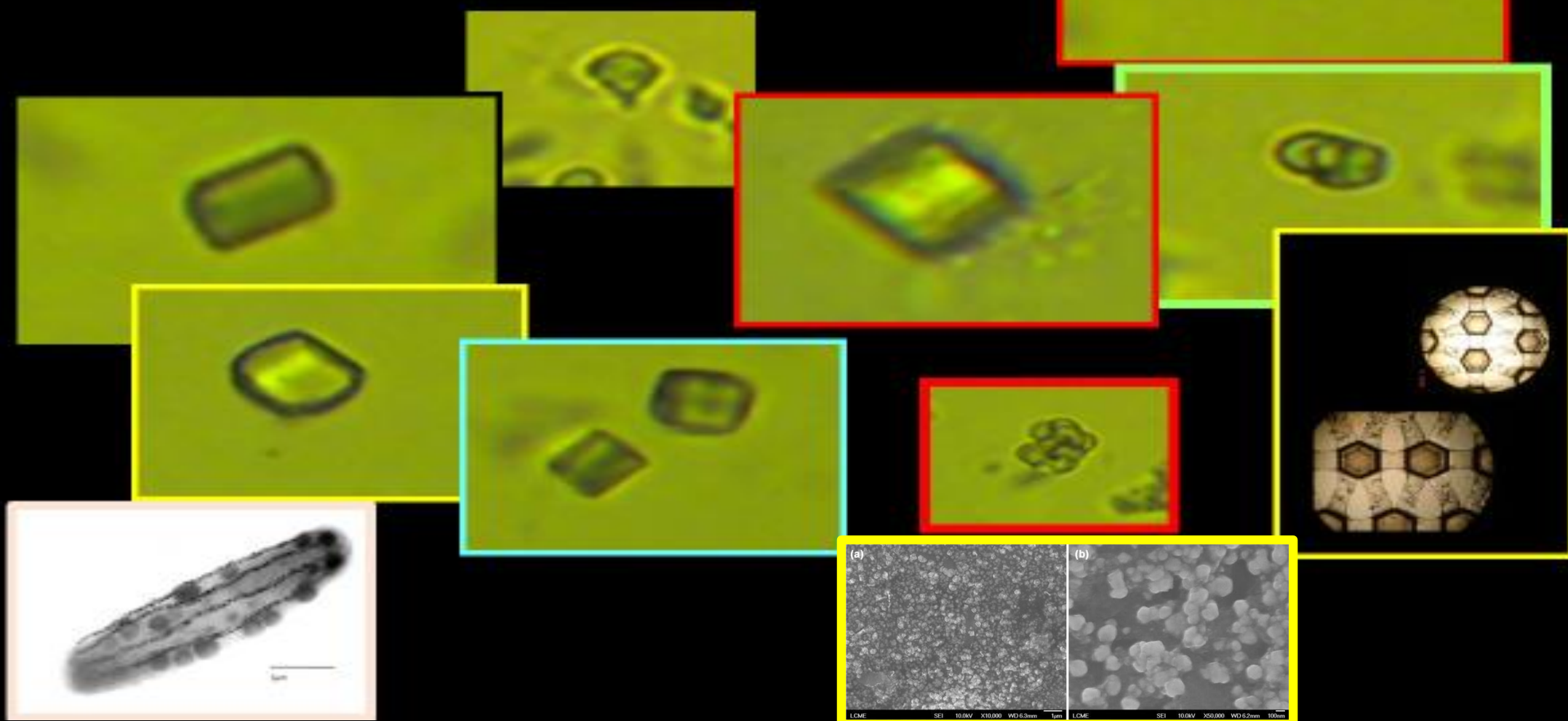


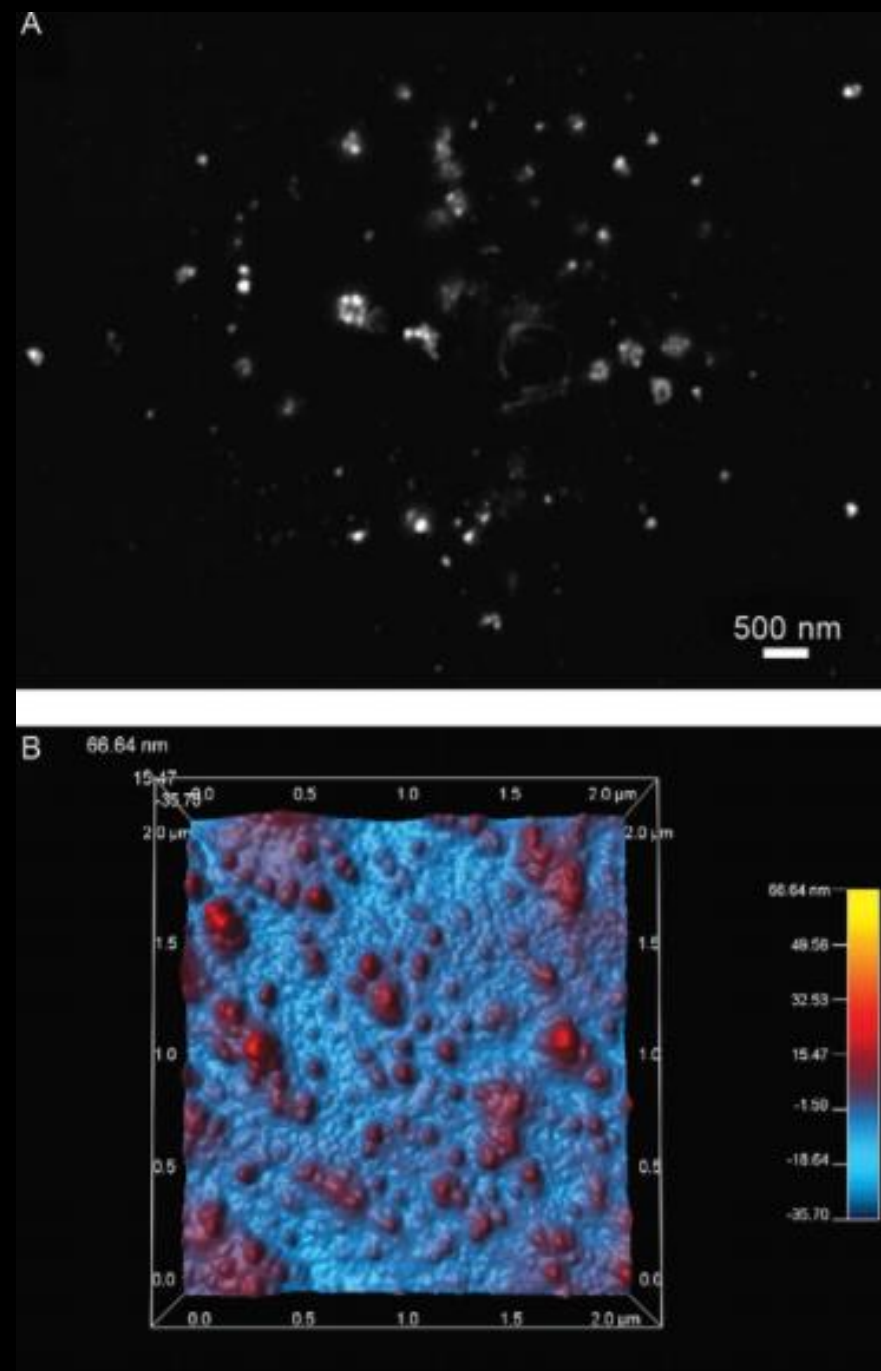
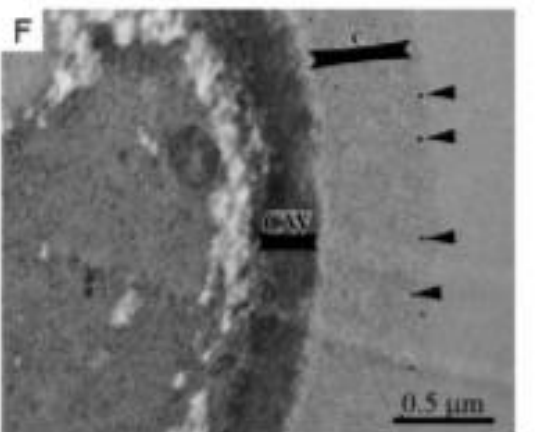
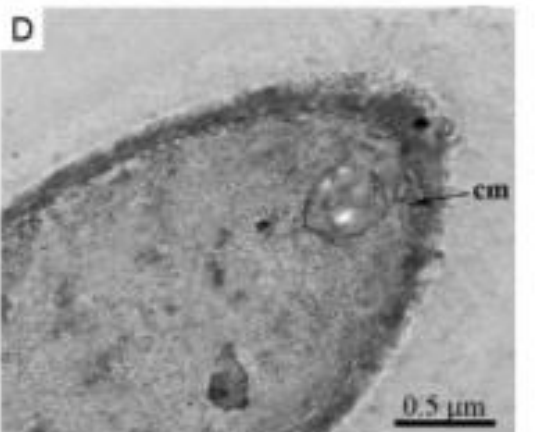
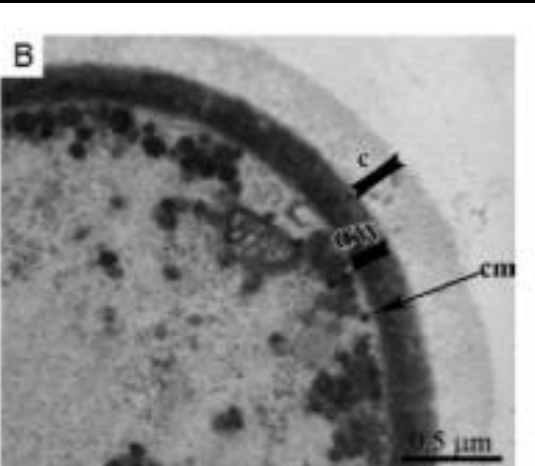
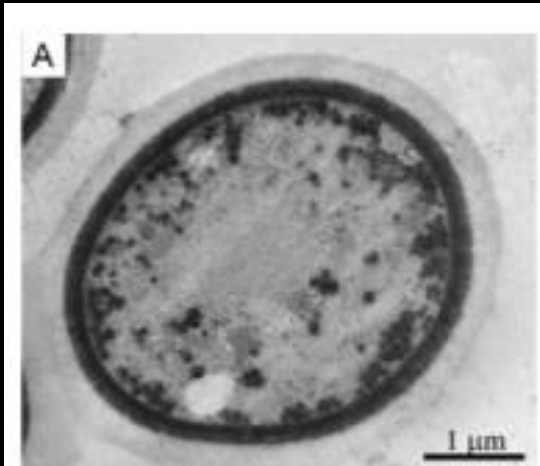
ESTRATEGIA TOXINICA FOCR4



MOLECULAS MICROBIANO NANOTECNOLOGICAS

SINTESIS MICROBIANA DE NANOPARTICULAS

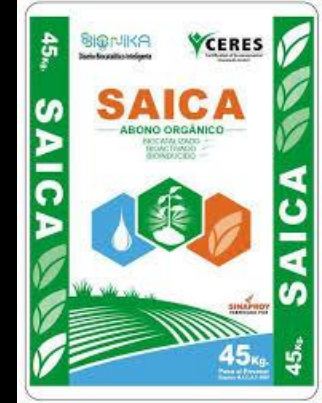




Mientras llega FOCR4



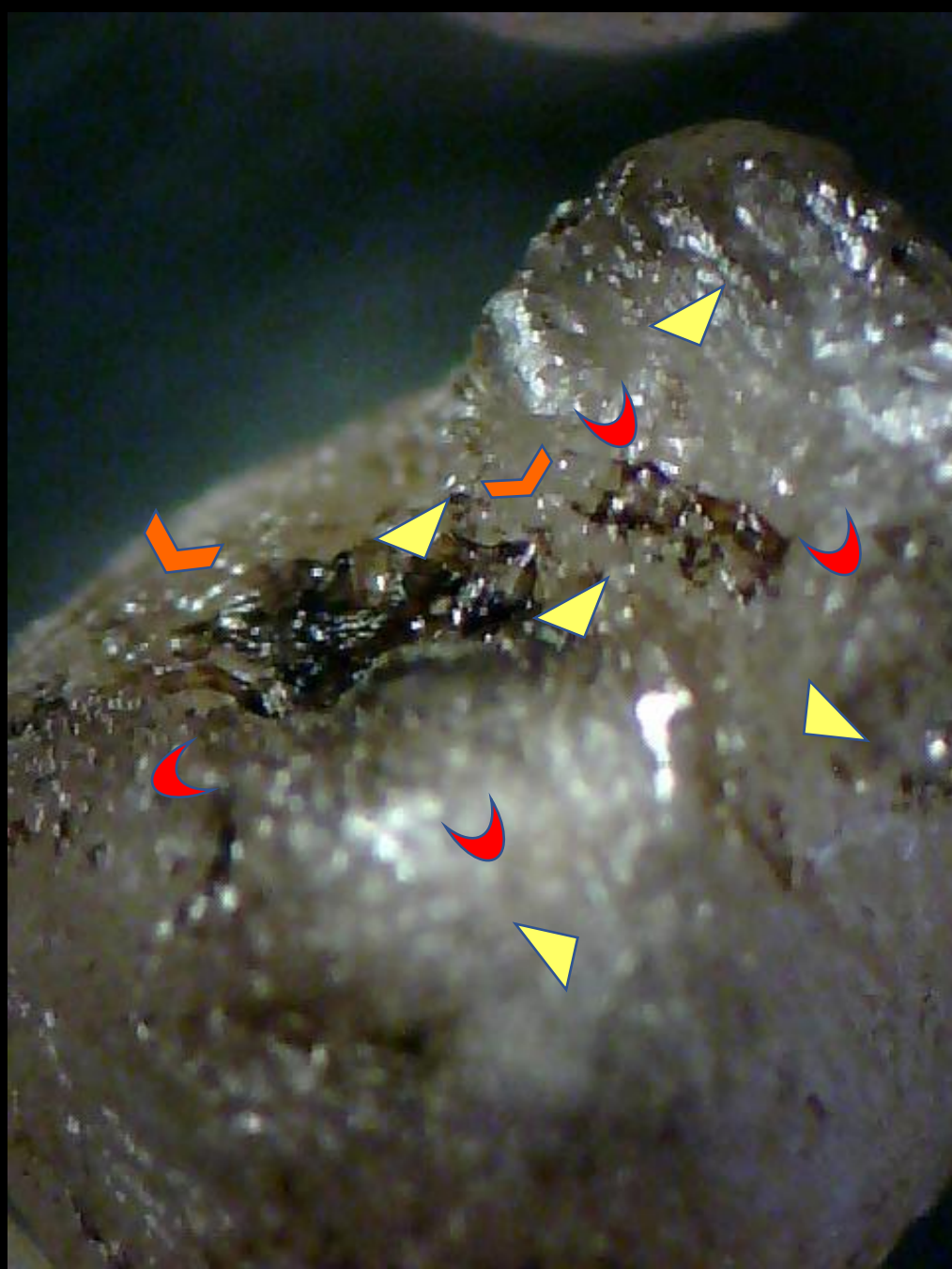
Sustratos Autoinductivos Cítonutricionalmente Asistidos



- Alimentos Nutraceuticos
- Funcionales
- Biofortificados
- Productos sanos
- Rentables

- Escudos Biológicos FOCR4
- Activación de sistemas de defensa
- Equilibrio Sanitario
- Dotación nutricional sincronizada
- Fertilidad Natural de suelo
- Fácil manejo cultivo

NORE-PRIREFRINAS Serotoninas, oxitoxinas
neurotransmisores banano

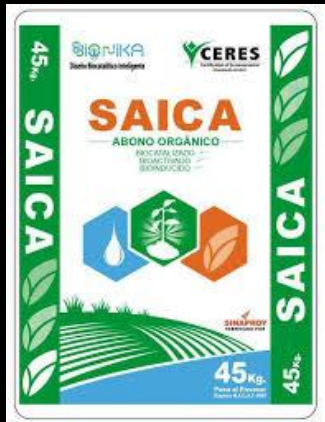




FISIOPATIAS PATOGENICA FOCR4

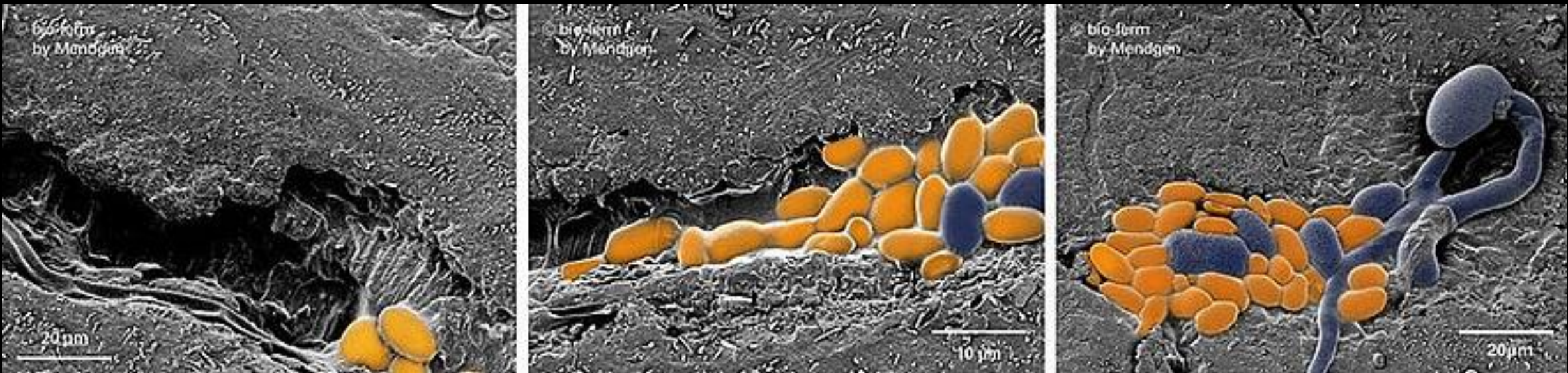
[Ca-Zn-K-(N-K-S)-Mg-Zn-Ca]^{hv1230}

ITA: ALTA



Citonutridad Fisiopatogenica Supresiva **CFA[©]**

Ocupación de micronichos de colonización y desplazamiento de fitopatógenos



Reconocimientos

CARBOGAS (Ecuador)

BIOSOFTWARE (Alemania)

Univ. KONSTANZ (Alemania)

Univ. STUTTGART (Alemania)

Univ. VRIJE UNIVERSITEIT BRUSSEL (Bélgica)

Univ. De Las Américas (UDLA)

Univ. Politécnica Salesiana (UPS)

Univ. Internacional Ecuador (UIDE).

Univ. San Francisco de Quito (USFQ)



Centro de Diagnóstico, Control Biológico &
BioCatalización CD & BCT

PlantSphereLabs
PSL

Biomoléculas &
Nanotecnología
BM & NT

Dr. Carlos J. Falconi Borja PhD

Laboratorios

Biosoftware -
Agriculture Monitoring
Systems
BSTW & AMS

Medio
Ambiente &
Biorremediación
MA & BR

Diseño Inteligente DI

Banco de
Microorganismos
BM

Bellavista de Carretas - Psje. N75B y Gonzalo Correa - Telf.: 6023531 - 099796977 - drfalconi-labs@biosoftware.de - Quito - Ecuador



Prof. Kurt Mendgen (Univ. Konstanz)

Prof. Holger Deising (Univ. Konstanz)

Prof. Hans Butin (Univ. Konstanz)

Prof. Walter Gams (CBS Holland)

Prof. Werner Koch (Univ. Hohenheim)

Prof. Heinrich Buchenauer (Univ. Stuttgart)

Prof. Luc DE VUYST (Univ. VRIJE Univ. BRUSSEL)

Ing. Jose Blanco Conde (Biosoftware)

Ing. Gustavo Heiner (CARBOGAS)

Dr. Wolfgang Pfromer Ph.D.

Dr. Klaus Amen Ph.D.

Dr. Patricio Ponce Ph.D.

Dr. Varsovia Cevallos Ph.D.

Ing. MSc. Julio Bueno

Ing. MSc. Marco Pérez

Ing. Agr. Jorge Acurio

Ing. Agr. Adrián Vinueza